

# **EQUAÇÕES DIFERENCIAIS ORDINÁRIAS**

WALDYR M. OLIVA



## INTRODUÇÃO

Os primeiros seis parágrafos do presente curso constituem tópicos essenciais de um primeiro estudo da teoria clássica das equações diferenciais ordinárias. Procuramos nos parágrafos 2 e 4 simplificar as hipóteses dos teoremas fundamentais mas observamos que o teorema de existência e unicidade de soluções, por exemplo, poderia ser provado em condições mais amplas. Tudo foi apresentado da maneira mais direta possível evitando formulações gerais que poderiam tirar a visão de conjunto dos leitores.

Os últimos quatro parágrafos visaram de modo incisivo chamar a atenção dos estudantes para aspectos qualitativos da teoria, servindo como uma primeira motivação para aquelas que mais tarde viessem se interessar pela teoria dos sistemas dinâmicos. Os parágrafos 7 e 8 englobam um estudo detalhado sobre a estabilidade local no caso linear, isto é, com perturbações também lineares e o Teorema 1.2 prova que um sistema linear homogêneo é localmente estruturalmente estável se, e somente se, a origem é um pon

to crítico hiperbólico.

No parágrafo 9 apresentamos, sem prova, um resumo de alguns resultados para o caso não linear que constituem uma generalização natural dos correspondentes lineares.

Sem muito formalismo fomos dando alguns exemplos que mostraram claramente a existência de campos de vetores autônomos em variedades e ficou observado, por exemplo, que quando as mesmas são compactas tôdas as trajetórias ficam definidas de  $-\infty$  a  $+\infty$ .

Finalmente o último parágrafo conclue o curso com a prova dos teoremas de Poincaré-Bendixon para a esfera  $S^2$ .

O assunto constante dêste curso constitue parte de um programa que desenvolvemos no primeiro semestre dêste ano de 1971 no Instituto de Matemática e Estatística da Universidade de São Paulo.

Queremos deixar aqui expresso nosso agradecimento à Comissão Organizadora do 8º Colóquio Brasileiro de Matemática pela confiança depositada, atribuindo-nos a ministração de tal curso. Aos colegas J. Palis e J. Sottomayor somos também muito gratos pelas discussões e sugestões sobre o texto.

São Paulo, 30 de junho de 1971

Waldyr Muniz Oliva

## ÍNDICE

	pag.
§1 - Equações Diferenciais Ordinárias de 1ª ordem...	1
§2 - Teorema de Existência e Unicidade de soluções locais .....	15
§3 - Prolongamentos de Soluções. Intervalos Maximais.	27
§4 - Teoremas de Dependência Contínua e Diferenciável das Soluções relativamente a Parâmetros...	37
§5 - Teoremas de Dependência Contínua e Diferenciável relativamente a Condições Iniciais.....	53
§6 - Sistemas Autônomos e Espaços de Fase. Pontos críticos e Trajetórias Fechadas. Grupo Local a um parâmetro .....	59
§7 - Sistemas Lineares Homogêneos de Coeficientes Constantes .....	75
§8 - Pontos Críticos Hiperbólicos. Estabilidade Local de Sistemas Lineares Homogêneos de Coeficientes Constantes .....	87
§9 - Variedades Estáveis e Instáveis de um Ponto Crítico Hiperbólico. Teorema de Equivalência Local entre Pontos Críticos Hiperbólicos.....	97
§10- Teoremas de Poincaré-Bendixon na Esfera .....	101
Bibliografia .....	109



## §1 - EQUAÇÕES DIFERENCIAIS ORDINÁRIAS DE 1ª ORDEM

Seja  $A$  um subconjunto aberto, não vazio, do espaço euclidiano  $R^{n+1}$  e  $f:A \rightarrow R^n$ ,  $n \geq 1$ , uma função definida e contínua em  $A$  assumindo valores em  $R^n$ . Dada uma função  $x = \varphi(t)$  com valores em  $R^n$ , definida num intervalo aberto  $I$  da reta  $R$  e de classe  $C^1$  nesse intervalo, indica-se por  $\dot{x} = \dot{\varphi}(t)$  a derivada de  $\varphi(t)$ ,  $t \in I$ . Se estiver verificada a condição

$$\dot{\varphi}(t) = f(t, \varphi(t)) \quad \text{para todo } t \in I, \quad (1)$$

$\varphi(t)$  denominar-se-á uma solução da equação diferencial ordinária

$$\dot{x} = f(t, x). \quad (2)$$

Se  $n > 1$ , (1) e (2) constituem, na realidade, um sistema de equações diferenciais ordinárias. De fato, a função  $f$  define naturalmente a seqüência  $f = (f^1, f^2, \dots, f^n)$  de funções reais e contínuas definidas em  $A$ :

$$f^i:A \rightarrow R, \quad i=1, 2, \dots, n,$$

enquanto que  $\varphi(t)$  define  $(\varphi^1(t), \dots, \varphi^n(t))$ ,  $t \in I$ . Como conseqüência, as condições (1) e (2) transformam-se respectivamente em (1)' e (2)':

$$\dot{\varphi}^i(t) = f^i(t, \varphi^1(t), \dots, \varphi^n(t)), \quad i=1, 2, \dots, n, \quad t \in I, \quad (1)'$$

e

$$\dot{x}^i = f^i(t, x^1, \dots, x^n), \quad i=1, 2, \dots, n. \quad (2)'$$

Freqüentemente consideram-se soluções  $x = \varphi(t)$ , de (2), definidas em intervalos fechados em um ou ambos os extremos. Nestes casos, subentende-se a condição (1) verificada nos extremos fechados, tomando-se derivadas à esquerda ou à direita, conforme o caso.

O leitor poderá facilmente formalizar o conceito de solução de um sistema de equações diferenciais ordinárias de ordem superior simbolicamente representado por

$$x^{(p)} = F(t, x, \dot{x}, \dots, x^{(p-1)}) \quad (3)$$

em que  $x^{(j)}$  representa a derivada de ordem  $j$  da função  $x$ ,  $j=1, 2, \dots, p$ , e  $F$  é uma função de  $p$  variáveis reais.

No presente curso, salvo menção em contrário, estaremos trabalhando com equações ou sistemas de equações diferenciais ordinárias de 1ª ordem, ou seja, equações do tipo (2). Encontram-se também na literatura equações ou sistemas de equações diferenciais ordinárias sob a forma implícita:

$$G(t, x, \dot{x}, \dots, x^{(p)}) = 0. \quad (4)$$

Para mais detalhes consultar, por exemplo [1] cap.

1.

Os sistemas do tipo (2), ao contrário dos do tipo (4), são muitas vezes denominados sistemas na forma normal.

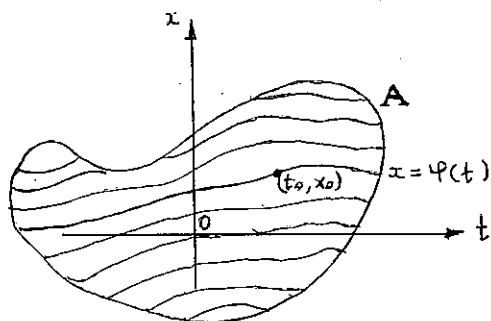
No presente curso, não estudaremos sistemas sob a forma implícita (4) e, portanto, por simplicidade não usaremos o qualificativo normal para os sistemas da forma (2).

Observações relativas à condição (1):

É óbvio que, se  $\varphi(t)$  é solução de (2), isto é, se  $\varphi(t)$  satisfaz (1), tem-se necessariamente, que o par  $(t, \varphi(t))$  pertence ao conjunto aberto  $A$ , para todo  $t \in I$ .

O caso  $n=1$ , por exemplo, permite representar no plano  $(t, x)$  os gráficos das soluções  $x = \varphi(t)$ .

No caso em que a função  $f$ , que comparece na equação  $\dot{x} = f(t, x)$ , satisfaz uma conveniente condição suplementar, prova-se que (ver Corolário 1, §3) a cada ponto  $(t_0, x_0) \in A$  corresponde uma única solução  $x = \varphi(t)$  de (2) tal que  $\varphi(t_0) = x_0$  e, conseqüentemente, o conjunto aberto  $A$  será a reunião disjunta dos gráficos das soluções da equação considerada (ver figura 1).



Enunciado de um teorema de existência e unicidade e alguns exemplos.

TEOREMA 1 - Seja  $\dot{x}^i = f^i(t, x^1, \dots, x^n)$ ,  $i=1, 2, \dots, n$ , (2)'  
um sistema de equações diferenciais ordinárias de 1ª ordem. Se as funções  $f^i(t, x^1, \dots, x^n)$ ,  $i=1, 2, \dots, n$ , da seqüência  $f = (f^1, \dots, f^n)$ , além de contínuas em A, possuírem tôdas as derivadas parciais  $\frac{\partial f^i}{\partial x^j}(t, x^1, \dots, x^n)$ ,  $i, j=1, 2, \dots, n$ , também contínuas em A, tem-se:

- i) Para cada ponto  $(t_0, x_0) \in A$  existe em correspondência uma solução  $x = \varphi(t)$  do sistema (2)' tal que  $\varphi(t_0) = x_0$ .
- ii) Se duas soluções  $x = \varphi(t)$  e  $y = \psi(t)$  do sistema (2)' coincidirem para um valor  $t = t_0$ , isto é,  $\varphi(t_0) = \psi(t_0)$ , então elas coincidirão idênticamente para

todos os valores de  $t$  em que ambas estiverem definidas.

A prova desse teorema será elaborada no próximo parágrafo.

O enunciado é aqui apresentado afim de que se possa elaborar alguns exemplos ilustrativos.

O par  $(t_0, x_0)$  é comumente designado por condições iniciais para determinação unívoca da solução  $\varphi(t)$  que satisfaz  $\varphi(t_0) = x_0$ .

EXEMPLO 1 - Considere-se a equação diferencial

$$\dot{x} = \alpha x \quad (5)$$

onde  $\alpha$  é um número real. Neste caso a função  $f(t, x) = \alpha \cdot x$  está definida em  $R^2$  e assume valores reais.

Em realidade ela não depende da variável  $t$ ; a equação (5) é por isso mesmo denominada autônoma ou independente do tempo. O Teorema 1 é aplicável para a equação (5) pois  $f(t, x) = \alpha \cdot x$  e  $\frac{df}{dx} = \alpha$  são contínuas em  $R^2$ .

Por outro lado, a função  $\varphi(t) = C e^{\alpha t}$  definida em  $R$ , é solução de (5) pois

$$\dot{\varphi}(t) = \alpha C e^{\alpha t} = \alpha \varphi(t) \quad \text{para todo } t \in R.$$

Dado  $(t_0, x_0) \in R^2$ , se impuzemos a condição  $\varphi(t_0) = x_0$ , teremos:  $\varphi(t_0) = C e^{\alpha \cdot t_0} = x_0$  que determina  $C = e^{-\alpha t_0} \cdot x_0$ .

Pelo Teorema 1, a função  $\varphi(t) = e^{-\alpha t_0} \cdot x_0 \cdot e^{\alpha t} =$

$= e^{\alpha(t-t_0)} \cdot x_0$  é a única solução da equação (5) definida em toda a reta e que satisfaz a condição  $\varphi(t_0) = x_0$ .

Nos cursos de cálculo, são freqüentemente apresentados processos formais para a obtenção da solução  $\varphi(t) = C e^{\alpha t}$ .

Não entraremos nestes detalhes de técnica de integração no presente curso.

#### EXEMPLO 2 - A equação diferencial

$$\dot{x} = h(t), \quad a < t < b, \quad (6)$$

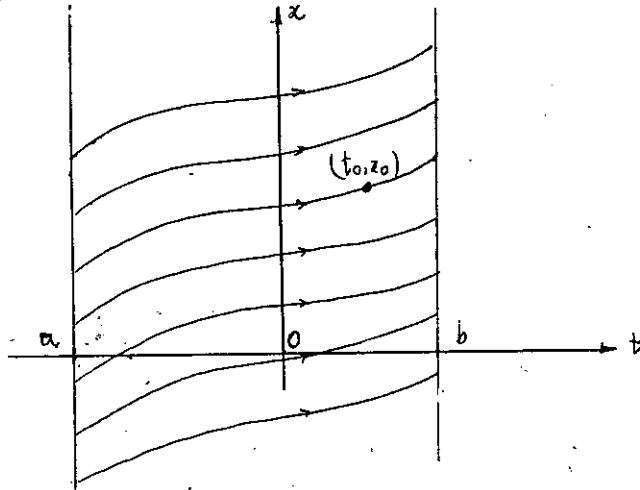
difere da equação (5) no sentido de que a função real  $f(t,x) = h(t)$ , suposta contínua no intervalo  $a < t < b$ , não depende da variável  $x$ . Neste caso estão também trivialmente verificadas as hipóteses do Teorema 1, A sendo o conjunto aberto do plano definido por

$$A = \{(t,x) \in \mathbb{R}^2 \mid a < t < b\}.$$

Trata-se de uma faixa de plano  $(t,x)$  compreendida entre as retas de equações  $t = a$  e  $t = b$ , paralelas ao eixo dos  $x$ .

Na figura 2 está feito um esboço dos gráficos das soluções da equação (6); tais soluções podem ser obtidas através da integral

$$x = \varphi(t) = c + \int_m^t h(\tau) d\tau, \quad a < t, m < b.$$



De fato, considerado o ponto  $(t_0, x_0) \in A$ , se impuzermos a condição  $\varphi(t_0) = x_0$  podemos escrever

$$\varphi(t_0) = C + \int_m^{t_0} h(z) dz = x_0$$

ou seja  $C = x_0 - \int_{t_0}^m h(z) dz$  e, finalmente, chega-se a função

$$\varphi(t) = x_0 + \int_{t_0}^t h(z) dz,$$

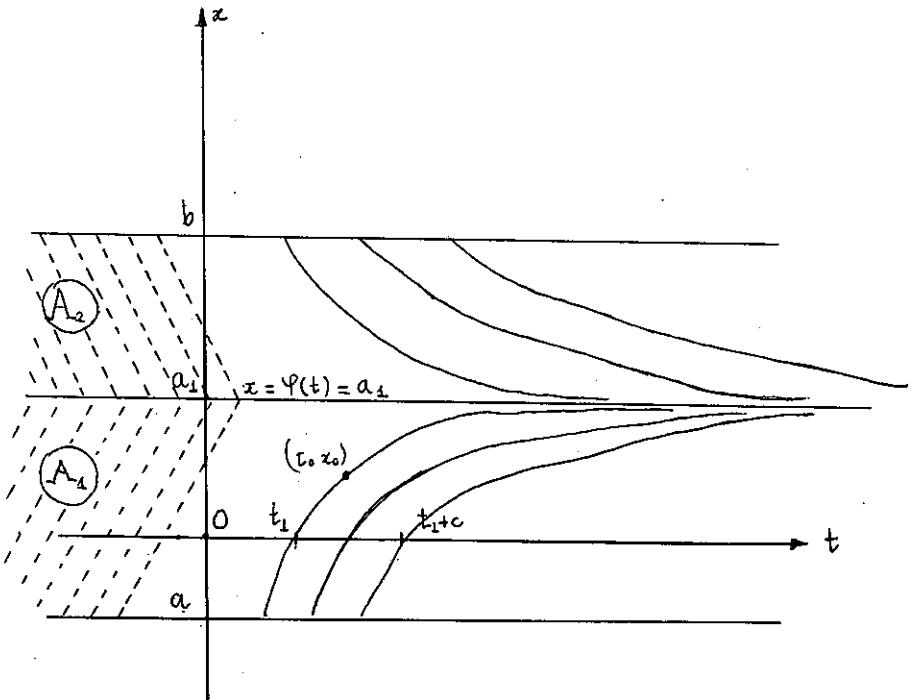
que é, evidentemente, solução de (6) (é só substituir na equação e constatar) e satisfaz à condição  $\varphi(t_0) = x_0$ . É fácil notar que neste Exemplo 2 os gráficos das soluções são obtidos uns de outros por translações paralelas ao eixo dos  $x$ .

EXEMPLO 3 - Uma generalização do Exemplo 1 é a equação diferencial ordinária autônoma:

$$\dot{x} = g(x) \quad (7)$$

em que  $f(t,x) = g(x)$  é de classe  $C^1$  num intervalo aberto  $a < x < b$ .

Claro está que  $A$  é uma faixa limitada por retas paralelas ao eixo dos  $t$ :



Se um ponto  $a_1$  do intervalo  $a < x < b$  anula a função  $g(x)$ , isto é, se  $g(a_1) = 0$ ,  $a_1$  é comumente denominado ponto de equilíbrio, ou ponto crítico ou ainda ponto singular da equação diferencial (7). A generalização desta idéia para sistemas de equações diferenciais ordinárias constitui-se num dos tópicos de relevante importância dentro deste curso; voltaremos adiante à consideração de tal conceito.

Sendo  $g(a_1) = 0$ , é óbvio que a função constante

$$x = \varphi(t) = a_1, \quad t \in \mathbb{R},$$

é solução da equação diferencial (7). O gráfico dessa solução é uma reta paralela ao eixo dos  $t$ . (Fig. 3).

Se  $g(x)$  não se anula em nenhum outro ponto, está claro que  $g(x)$  manter-se-á com sinal constante nas faixas abertas

$$A_1 = \{(t, x) \mid a < x < a_1\} \quad \text{e} \quad A_2 = \{(t, x) \mid a_1 < x < b\}.$$

Sem perda de generalidade, faremos a hipótese:

$$g(x) > 0 \text{ em } A_1 \quad \text{e} \quad g(x) < 0 \text{ em } A_2.$$

Sendo  $x = \varphi(t)$  uma solução de (7), definida num intervalo  $I$ ,  $t_1 < t < t_2$ , tem-se

$$\dot{\varphi}(t) = g(\varphi(t)), \quad t \in I.$$

Se  $\varphi(t_0) = x_0$  e  $(t_0, x_0) \in A_1$  tem-se  $g(\varphi(t_0)) =$

$= g(x_0) > 0$  donde  $\dot{\varphi}(t) > 0$  em  $I$ , isto é,  $\varphi(t)$  é monotônica crescente em  $I$ . (Se, ao contrário,  $(t_0, x_0) \in A_2$ ,  $\varphi(t)$  será monotônica decrescente no intervalo aberto  $I$ ).

Sendo o sistema (7) autônomo, a função  $x = \varphi(t-c)$ ,  $c$  real, definida em  $t_1 + c < t < t_2 + c$ , é também solução (7), cujo gráfico no plano  $(t, x)$  se obtém do gráfico de  $\varphi(t)$  por translação (de valor  $c$ ) paralelamente ao eixo dos  $t$ ; de fato:

$$\dot{\varphi}(t-c) = g(\varphi(t-c)), \quad t_1 + c < t < t_2 + c ;$$

Uma última observação neste exemplo é a seguinte: a solução  $\varphi(t)$ ,  $\varphi(t_0) = x_0$ ,  $(t_0, x_0) \in A_1$ , pode ser continuada de modo a obter-se  $t_2 = +\infty$ .

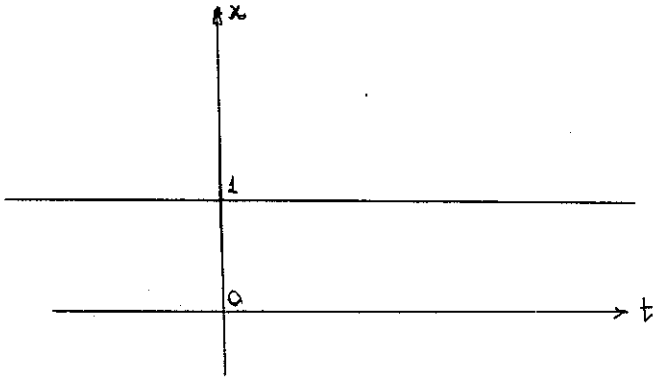
#### EXEMPLO 4 - A equação diferencial

$$\dot{x} = t.(x-1) \tag{8}$$

é um caso particular das chamadas equações diferenciais de variáveis separadas da forma  $\dot{x} = h(t).g(x)$ , (ver [1]).

A equação (8) está também nas condições do Teorema 1.

A função  $x = \varphi(t) = 1$ ,  $t \in \mathbb{R}$ , é solução de (8) o que se constata diretamente. Seu gráfico é uma reta paralela ao eixo dos  $t$  (figura 4).



Integrando formalmente obteremos

$$\int \frac{dx}{x-1} = \int t \, dt$$

que fornece  $x-1 = c \cdot e^{(t^2/2)}$  ou  $x = \varphi(t) = 1 + c \cdot e^{(t^2/2)}$  que se verifica diretamente ser solução de (8).

Se impuzermos a condição  $\varphi(t_0) = x_0$  teremos

$$x_0 = \varphi(t_0) = 1 + c \cdot e^{(t_0^2/2)} \quad c = (x_0 - 1) e^{(-t_0^2/2)}$$

e finalmente  $\varphi(t) = 1 + (x_0 - 1) e^{(t^2 - t_0^2)/2}$ ; o teorema garante que se trata da solução de (8) satisfazendo  $\varphi(t_0) = x_0$  e definida em toda a reta.

EXEMPLO 5 - A equação diferencial ordinária autônoma de 1ª ordem

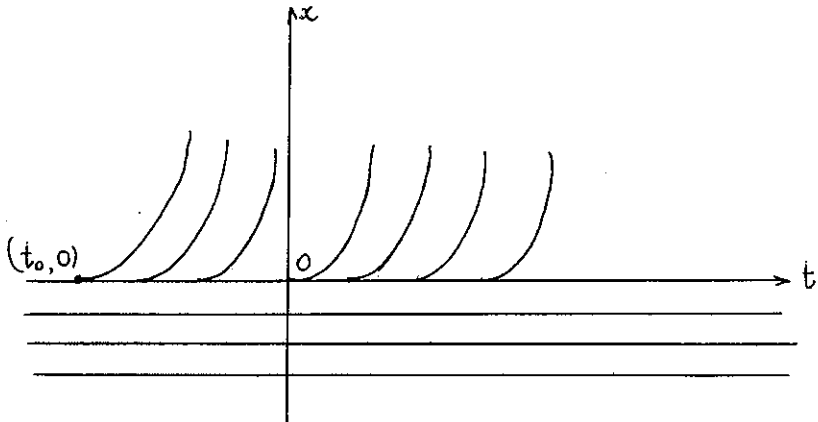
$$\dot{x} = f(t, x) = \begin{cases} \sqrt{x} & \text{para } x \geq 0 \\ 0 & \text{para } x < 0 \end{cases} \quad (9)$$

não está nas condições do Teorema 1 pois  $f(t,x)$  não é derivável relativamente à  $x$  no ponto  $x = 0$ .

A função  $x = \varphi(t) = 0, t \in \mathbb{R}$  é solução de (9). Também é solução a função

$$x = \varphi(t) = \begin{cases} \frac{(t-c)^2}{4} & \text{para } t \geq c \\ 0 & \text{para } t < c \end{cases}$$

A figura 5 mostra os gráficos das soluções de (9);



abaixo do eixo dos  $t$  as soluções têm gráficos paralelos ao eixo dos  $t$ ; acima do eixo dos  $t$  os gráficos são semi-parábolas.

Seja  $(t_0, x_0)$  um ponto do eixo dos  $t$ , isto é,  $x_0 = 0$ .

As funções  $x = \varphi(t) = 0$  e  $x = \varphi(t) = \frac{(t-t_0)^2}{4}$ ,  $t \geq t_0$ , são soluções de (9) e ambas satisfazem à condição  $\varphi(t_0) = x_0$ .

Trata-se, como se vê, de um exemplo para o qual não valem nem as hipóteses e nem as conclusões do Teorema 1 quanto à unicidade de solução.

EXEMPLO 6 - Seja

$$\begin{cases} \ddot{x} + \dot{x} + y = 0 \\ \ddot{y} + \dot{y} + x = 0 \end{cases} \quad (10)$$

um sistema de duas equações diferenciais ordinárias em que comparecem derivadas primeiras e segundas.

Para podermos transformar tal sistema em um sistema de equações diferenciais ordinárias de 1ª ordem sob a forma normal, introduzem-se novas variáveis  $u$  e  $v$  pelas relações

$$\begin{cases} u = \dot{x} \\ v = \dot{y} \end{cases} \quad (11)$$

e define-se (12) que é um sistema de 1ª ordem:

$$\begin{cases} \dot{x} = u \\ \dot{y} = v \\ \dot{u} = -u - y \\ \dot{v} = -v - u \end{cases} \quad (12)$$

Pelo Teorema 1, dados  $(t_0, x_0, y_0, u_0, v_0) \in R^5$ , existe em correspondência uma única solução de (12) definida nas vizinhanças de  $t_0$ ,  $x = x(t)$ ,  $y = y(t)$ ,  $u = u(t)$ ,  $v = v(t)$ , tal que  $x(t_0) = x_0$ ,  $y(t_0) = y_0$ ,  $u(t_0) = u_0$ ;

$$v(t_0) = v_0.$$

Tôda solução do sistema (10) determina, usadas as relações (11), uma solução de (12); reciprocamente, tôda solução de (12) é uma quádrupla de funções em que as duas primeiras constituem uma solução de (10). Portanto o Teorema 1 mostra que dada a seqüência  $(t_0, x_0, y_0, u_0, v_0)$  de  $R^5$ , existe em correspondência uma única solução do sistema (10),  $(x = x(t), y = y(t))$ , definida nas vizinhanças de  $t_0$ , e tal que

$$\begin{aligned}x(t_0) &= x_0 & , & & y(t_0) &= y_0 \\ \dot{x}(t_0) &= u_0 & , & & \dot{y}(t_0) &= v_0\end{aligned}$$

Grande número de problemas de determinação de movimentos na Mecânica Newtoniana recai em sistemas de equações diferenciais ordinárias em que comparecem derivadas até a 2ª ordem, como no caso do tipo (10); a aplicação do Teorema 1, nestes casos, corresponde a dizer que um movimento fica determinado quando se fixam: o instante inicial  $t_0$ , a posição inicial  $(x_0, y_0)$  e a velocidade inicial  $(u_0, v_0)$ .

## §2 - TEOREMA DE EXISTÊNCIA E UNICIDADE DE SOLUÇÕES LOCAIS

Seja  $|\alpha|$  o valor absoluto do número real  $\alpha$  e  $\|y\|$ ,  $y = (y^1, \dots, y^n)$ , a norma de  $y$ , ou seja, o máximo dos números  $|y^i|$ ,  $i=1, 2, \dots, n$ . É imediato que, se  $y = (y^1, \dots, y^n)$  e  $z = (z^1, \dots, z^n)$  são dois elementos de  $R^n$ , tem-se

$$\|x+y\| \leq \|x\| + \|y\|.$$

Propriedade análoga vale para uma soma finita de elementos de  $R^n$ .

Voltemos ao sistema (2) do §1,  $\dot{x} = f(t, x)$ , de equações diferenciais ordinárias de 1ª ordem, em que  $f: A \rightarrow R^n$  é uma função definida e contínua num aberto não vazio  $A$  de  $R^{n+1}$ .

Por vizinhança cúbica  $(a, b)$  de  $(t_0, x_0)$  entendemos o produto cartesiano de duas bolas fechadas, uma de centro  $t_0$  e raio  $a$  e outra de centro  $x_0$  e raio  $b$ , isto é, é o conjunto (fechado) dos pontos  $(t, x)$  de  $R^{n+1}$  tais que

$$|t-t_0| \leq a \quad \text{e} \quad \|x-x_0\| \leq b.$$

Seja  $\varphi(t) = (\varphi^1(t), \dots, \varphi^n(t))$  uma função contínua (isto é, cada  $\varphi^i(t)$  é contínua,  $i=1, 2, \dots, n$ ) definida

num intervalo  $r_1 < t < r_2$  com valores em  $R^n$ . Dados  $t_0$  e  $t$  neste intervalo, define-se  $h(t) = \int_{t_0}^t \varphi(\tau) d\tau$  do seguinte modo:

$$h(t) = (h^1(t), \dots, h^n(t)), \quad h^i(t) = \int_{t_0}^t \varphi^i(\tau) d\tau, \quad i=1,2,\dots,n$$

PROPOSIÇÃO 1 - Se  $\varphi(t) = (\varphi^1(t), \dots, \varphi^n(t))$  é contínua em  $r_1 < t < r_2$  então

$$\left\| \int_{t_0}^t \varphi(\tau) d\tau \right\| \leq \left| \int_{t_0}^t \|\varphi(\tau)\| d\tau \right|, \quad r_1 < t_0, t < r_2 .$$

Prova:

$$\begin{aligned} \left\| \int_{t_0}^t \varphi(\tau) d\tau \right\| &= \left\| \left( \int_{t_0}^t \varphi^1(\tau) d\tau, \dots, \int_{t_0}^t \varphi^n(\tau) d\tau \right) \right\| = \max \\ &\{ \left| \int_{t_0}^t \varphi^i(\tau) d\tau \right|; i=1,2,\dots,n \} \leq \max \{ \left| \int_{t_0}^t |\varphi^i(\tau)| d\tau \right|; i=1,2,\dots,n \} \leq \\ &\leq \left| \int_{t_0}^t \|\varphi(\tau)\| d\tau \right| . \end{aligned}$$

Um segundo resultado que usaremos no presente trabalho é o seguinte:

PROPOSIÇÃO 2 - Se  $f = (f^1, \dots, f^n): A \rightarrow R^n$ ,  $A$  aberto não vazio de  $R^{n+1}$ ,  $f$  contínua em  $A$  e admitir contínuas em  $A$  as  $n^2$  derivadas parciais  $\frac{\partial f^i}{\partial x^j}(t,x)$ ,  $i, j = 1, 2, \dots, n$ , então dado  $(t_0, x_0) \in A$ , existem uma constante  $K > 0$  e uma vizinhança cúbica  $(a,b)$  de  $(t_0, x_0)$  tais que

$$\|f(t,x) - f(t,x^*)\| \leq K \|x-x^*\|, \quad (13)$$

para todo  $(t,x)$  e  $(t,x^*)$  na vizinhança cúbica.

Prova: De fato, fixada uma vizinhança cúbica  $(a,b)$  de  $(t_0, x_0) \in A$ , contida em  $A$ , seja  $\tilde{K} > 0$  tal que

$$\left| \frac{\partial f^i}{\partial x^j} (t,x) \right| \leq \tilde{K} \text{ nessa vizinhança.}$$

Fixado  $t$  em  $|t-t_0| \leq a$ , temos:

$$\|f(t,x)-f(t,x^*)\| = \max\{ |f^i(t,x)-f^i(t,x^*)| ; i=1,2,\dots,n\}.$$

Se  $i_0$  é um índice entre 1 e  $n$  e se  $y = x + s(x^*-x)$ ,  $0 \leq s \leq 1$ , os pontos  $(t,y)$  estarão na vizinhança cúbica  $(a,b)$ ; definimos  $g(s) = f^{i_0}(t,y) = f^{i_0}(t, x+s(x^*-x))$ ; por outro lado  $g(1)-g(0) = g'(\theta)$ ,  $0 < \theta < 1$ , ou

$$f^{i_0}(t,x^*) - f^{i_0}(t,x) = \sum_{j=1}^n \frac{\partial f^{i_0}}{\partial x^j} (t, x+\theta(x^*-x)) \cdot (x^{*j}-x^j)$$

donde

$$|f^{i_0}(t,x^*)-f^{i_0}(t,x)| \leq \tilde{K} \cdot \sum_{j=1}^n |x^{*j}-x^j| \leq n\tilde{K}\|x^*-x\| = K\|x^*-x\|.$$

**DEFINIÇÃO 1** - Uma função  $f:A \rightarrow R^n$ ,  $A$  aberto não vazio de  $R^{n+1}$ , diz-se localmente lipchitziana em  $A$  relativamente à  $x$ , se dado  $(t_0, x_0) \in A$  existem uma constante  $K > 0$  e uma vizinhança cúbica  $(a,b)$  de

$(t_0, x_0)$  tais que vale (13):

$$\|f(t, x) - f(t, x^*)\| \leq K \|x - x^*\|$$

para todo  $(t, x)$  e  $(t, x^*)$  na vizinhança cúbica, isto é, quaisquer que sejam  $t, x, x^*$ , satisfazendo

$$|t - t_0| \leq a, \quad \|x - x_0\| \leq b \quad \text{e} \quad \|x^* - x_0\| \leq b.$$

Com essa definição pode-se re-enunciar a Proposição 1 do seguinte modo: "Se  $f = (f^1, \dots, f^n): A \rightarrow R^n$ ,  $A$  aberto não vazio de  $R^{n+1}$ ,  $f$  for contínua em  $A$  e admitir contínuas em  $A$  as  $n^2$  derivadas parciais  $\frac{\partial f^i}{\partial x^j}(t, x)$ ,  $i, j = 1, 2, \dots, n$ , então  $f(t, x)$  é localmente lipchitziana em  $A$  relativamente à  $x$ ".

TEOREMA 1 - Seja  $\dot{x}^i = f^i(t, x^1, \dots, x^n)$ ,  $i=1, 2, \dots, n$ , (2)'

um sistema de equações diferenciais ordinárias de 1ª ordem. Se as funções  $f^i(t, x^1, \dots, x^n)$ ,  $i=1, 2, \dots, n$ , além de contínuas no aberto não vazio  $A$  de  $R^{n+1}$ , possuírem tôdas as derivadas parciais  $\frac{\partial f^i}{\partial x^j}(t, x^1, \dots, x^n)$ ,  $i, j = 1, 2, \dots, n$ , também contínuas em  $A$ , tem-se:

- i) Para cada  $(t_0, x_0) \in A$  existe em correspondência uma solução  $x = \varphi(t)$  do sistema (2)' tal que  $\varphi(t_0) = x_0$ .
- ii) Se duas soluções  $x = \varphi(t)$  e  $y = \psi(t)$  do sistema (2)' coincidirem para um valor  $t = t_0$ , isto é,

$\varphi(t_0) = \psi(t_0)$ , então elas coincidirão idênticamente para todos os valores de  $t$  em que ambas estiverem definidas.

Prova: Pela Proposição 2, dado  $(t_0, x_0) \in A$  existem

$K > 0$  e uma vizinhança cúbica  $(a, b)$  de  $(t_0, x_0)$  contida em  $A$  tais que para  $|t-t_0| \leq a$ ,  $\|x-x_0\| \leq b$  e  $\|x^*-x_0\| \leq b$  vale a desigualdade (13):

$$\|f(t, x) - f(t, x^*)\| \leq K\|x - x^*\| .$$

Como  $f(t, x)$  é contínua em  $A$ , podemos garantir que, nessa vizinhança cúbica  $(a, b)$  de  $(t_0, x_0)$ , contida em  $A$ , tem-se

$$\|f(t, x)\| \leq M, \quad M > 0 .$$

Seja  $a^*$  um número real tal que

$$0 < a^* < \min\left(a, \frac{b}{M}, \frac{1}{K}\right) .$$

Construamos a seguinte seqüência de funções:

$$\varphi_0(t) = x_0$$

$$\varphi_1(t) = x_0 + \int_{t_0}^t f(\tau, \varphi_0(\tau)) d\tau, \quad |t-t_0| \leq a^* ,$$

$$\varphi_2(t) = x_0 + \int_{t_0}^t f(\tau, \varphi_1(\tau)) d\tau, \quad |t-t_0| \leq a^* ,$$

$\vdots$

$$\varphi_n(t) = x_0 + \int_{t_0}^t f(\tau, \varphi_{n-1}(\tau)) d\tau, \quad |t-t_0| \leq a^*, \text{ etc.}$$

Observemos por indução que tôdas as funções  $\varphi_i(t)$  da se

quência  $(\varphi_0(t), \varphi_1(t), \dots, \varphi_n(t), \dots)$  são contínuas em  $|t-t_0| \leq a^*$  e que seus gráficos estão contidos na vizinhança cúbica  $(a^*, b)$  de  $(t_0, x_0)$ :

$$\begin{aligned} \|\varphi_i(t) - x_0\| &= \left\| \int_{t_0}^t f(z, \varphi_{i-1}(z)) dz \right\| \leq \left| \int_{t_0}^t \|f(z, \varphi_{i-1}(z))\| dz \right| \leq \\ &\leq \left| \int_{t_0}^t M dz \right| \leq M|t-t_0| \leq Ma^* < b; \text{ isto é, } \|\varphi_i(t) - x_0\| < b. \end{aligned}$$

Por outro lado para todo  $i \geq 1$  temos:

$$\begin{aligned} \|\varphi_{i+1}(t) - \varphi_i(t)\| &= \left\| \int_{t_0}^t f(z, \varphi_i(z)) dz - \int_{t_0}^t f(z, \varphi_{i-1}(z)) dz \right\| = \\ &= \left\| \int_{t_0}^t [f(z, \varphi_i(z)) - f(z, \varphi_{i-1}(z))] dz \right\| \leq \left| \int_{t_0}^t \|f(z, \varphi_i(z)) - f(z, \varphi_{i-1}(z))\| dz \right|. \end{aligned}$$

Como tôdas as funções da seqüência têm seus gráficos contidos na vizinhança cúbica  $(a^*, b)$  podemos utilizar a desigualdade (13) e portanto:

$$\|\varphi_{i+1}(t) - \varphi_i(t)\| \leq \left| \int_{t_0}^t K \|\varphi_i(z) - \varphi_{i-1}(z)\| dz \right|, \quad i=(1, 2, 3, \dots);$$

para  $i=1$ :

$$\|\varphi_2(t) - \varphi_1(t)\| \leq \left| \int_{t_0}^t K \|\varphi_1(z) - x_0\| dz \right| \leq \left| \int_{t_0}^t Kb dz \right| \leq b(Ka^*);$$

para  $i=2$ :

$$\begin{aligned} \|\varphi_3(t) - \varphi_2(t)\| &\leq \left| \int_{t_0}^t K \|\varphi_2(z) - \varphi_1(z)\| dz \right| \leq b(Ka^*) \cdot (Ka^*) = \\ &= b(Ka^*)^2; \end{aligned}$$

e para todo  $i$ ,  $\|\varphi_{i+1}(t) - \varphi_i(t)\| \leq b(Ka^*)^i, \quad i=(1, 2, \dots).$

Como a série numérica de termo geral  $(Ka^*)^i$  é convergente, já que  $Ka^* < 1$ , temos pelo critério de Weirstrass que a seqüência  $\varphi_0(t), \varphi_1(t), \dots, \varphi_i(t), \dots$  converge uniformemente para a função contínua  $\varphi(t)$  definida em  $|t-t_0| \leq a^*$  satisfazendo  $\|\varphi(t) - x_0\| \leq b$ .

Por outro lado observa-se que a seqüência de funções

$$\int_{t_0}^t f(\zeta, \varphi_n(\zeta)) d\zeta$$

converge para  $\int_{t_0}^t f(\zeta, \varphi(\zeta)) d\zeta$ ; de fato

$$\begin{aligned} & \left\| \int_{t_0}^t f(\zeta, \varphi_n(\zeta)) d\zeta - \int_{t_0}^t f(\zeta, \varphi(\zeta)) d\zeta \right\| = \left\| \int_{t_0}^t [f(\zeta, \varphi_n(\zeta)) - f(\zeta, \varphi(\zeta))] d\zeta \right\| \leq \\ & \leq \left| \int_{t_0}^t K \|\varphi_n(\zeta) - \varphi(\zeta)\| d\zeta \right| \leq Ka^* \epsilon, \text{ já que dado } \epsilon > 0 \text{ e ar-} \\ & \text{bitrário, a partir de um certo valor } N_0 \text{ de } n \text{ tem-se} \\ & \|\varphi_n(t) - \varphi(t)\| < \epsilon, \quad |t-t_0| \leq a^*. \text{ Pela unicidade do limite} \\ & \text{tem-se } \varphi(t) = x_0 + \int_{t_0}^t f(\zeta, \varphi(\zeta)) d\zeta \text{ e portanto} \end{aligned}$$

$$\varphi(t_0) = x_0 \quad \text{e} \quad \dot{\varphi}(t) = f(t, \varphi(t)), \quad |t-t_0| \leq a^* .$$

Isto prova a parte i) do enunciado do Teorema 1.

Passemos agora à prova da unicidade, isto é, a parte ii) do Teorema 1.

Se  $x = \varphi(t)$  e  $y = \psi(t)$  são duas soluções do sistema (2)' satisfazendo  $\varphi(t_0) = \psi(t_0) = x_0$ , denotemos por  $J$  o intervalo aberto  $r_1 < t < r_2$ , conjunto de todos os valores de  $t$  para os quais  $\varphi(t)$  e  $\psi(t)$  estão defini-

das. Chamemos de  $N$  o subconjunto dos  $t$  para os quais se tem  $\varphi(t) = \psi(t)$ ; é claro que  $t_0 \in N$ , isto é,  $N$  não é vazio. Mostremos que  $N$  é aberto e fechado em  $J$ . Se uma seqüência  $(t_\nu)$  de elementos de  $N$  converge para  $m \in J$ , tem-se  $\varphi(t_\nu) = \psi(t_\nu)$  e como  $\varphi$  e  $\psi$  são contínuas podemos passar ao limite esta última igualdade que fornece  $\varphi(m) = \psi(m)$  donde  $m \in N$ , isto é,  $N$  é fechado. Seja agora  $t_1 \in N$ , isto é,  $\varphi(t_1) = \psi(t_1) = x_1$ . Procedendo com o par  $(t_1, x_1)$  como se fêz com o par  $(t_0, x_0)$  na primeira parte do Teorema 1, determina-se uma vizinhança cúbica  $(a^*, b)$  para o qual seja válida a relação (13) e  $Ka^* < 1$ .

Diminuir-se-á  $a^*$  se fôr necessário, para que se tenha pela continuidade de  $\varphi(t)$  e  $\psi(t)$ ,  $\|\varphi(t)\| \leq b$ ,  $\|\psi(t)\| \leq b$  e  $\|\varphi(t) - \psi(t)\| \leq b$ . Como  $\varphi(t)$  e  $\psi(t)$  são soluções temos:

$$\varphi(t) = x_1 + \int_{t_1}^t f(z, \varphi(z)) dz \quad \text{e} \quad \psi(t) = x_1 + \int_{t_1}^t f(z, \psi(z)) dz$$

e para  $|t - t_1| \leq a^*$  chega-se à

$$\begin{aligned} \|\varphi(t) - \psi(t)\| &= \left\| \int_{t_1}^t [f(z, \varphi(z)) - f(z, \psi(z))] dz \right\| \leq \\ &\leq \left| K \int_{t_1}^t \|\varphi(z) - \psi(z)\| dz \right| \end{aligned}$$

e portanto:

$\|\varphi(t) - \psi(t)\| \leq b(Ka^*)$  que levada novamente na relação anterior fornece  $\|\varphi(t) - \psi(t)\| \leq b(Ka^*)^2$  e assim sucessivamente chega-se à  $\|\varphi(t) - \psi(t)\| \leq b(Ka^*)^n$ , para todo  $n \geq 1$ ; como  $(Ka^*) < 1$  conclue-se que  $\varphi(t) = \psi(t)$  para  $|t - t_1| \leq a^*$ , logo existe uma vizinhança de  $t_1$  onde  $\varphi(t)$  e  $\psi(t)$  coincidem, isto é,  $N$  é aberto. Sendo  $N$  não vazio, aberto e fechado em  $J$ , é um simples argumento provar que  $N = J$  o que conclue a prova do Teorema 1.

OBSERVAÇÕES:

1) O Teorema 1 ainda é válido se supuzermos as funções  $f^i(t, x^1, \dots, x^n)$  contínuas em  $A$  e localmente lipchitzianas em  $A$  relativamente à  $x$ .

É suficiente olhar com cuidado a prova do teorema.

2) A equação diferencial considerada no Exemplo 5, §1,

$\dot{x} = f(x)$ , em que  $f(x) = \begin{cases} \sqrt{x} & \text{para } x \geq 0 \\ 0 & \text{para } x < 0 \end{cases}$ , não está nas hipóteses do Teorema 1 e além disso  $f(x)$  não é localmente lipchitziana pois nas vizinhanças de zero temos sempre  $|\sqrt{x}| > x$ ,  $x \geq 0$ .

3) A equação diferencial autônoma  $\dot{x} = f(x)$ ,  $f(x) = |x|$ , é tal que  $f(x)$  é contínua para todo  $x$  real enquanto que não existe derivada para  $x = 0$ ; entretanto ela é localmente lipchitziana já que

$$|f(x)-f(y)| = \left| |x|-|y| \right| \leq |x-y|.$$

Como consequência da Observação 1), para tal equação é aplicável o Teorema 1. Dadas as condições iniciais  $(t_0, x_0)$ , temos dois casos a considerar: ou  $x_0 \geq 0$  e neste caso a solução  $x(t) = x_0 \exp(t-t_0)$  definida em toda a reta satisfaz a condição  $x(t_0) = x_0$ ; ou  $x_0 \leq 0$  e a solução  $x(t) = x_0 \exp-(t-t_0)$  satisfaz  $x(t_0) = x_0$  e é definida em toda a reta.

#### EXERCÍCIOS

1) Construamos a seqüência  $\varphi_1(t), \dots, \varphi_n(t), \dots$ , que com parece na prova do Teorema 1, para a equação diferencial ordinária  $\dot{x} = x$ , a partir das condições iniciais  $(t_0, x_0) = (0, 1)$ :

$$\varphi_0(t) = 1,$$

$$\varphi_1(t) = 1 + \int_0^t d\tau = 1 + t$$

$$\varphi_2(t) = 1 + \int_0^t (1+\tau)d\tau = 1 + t + \frac{t^2}{2}$$

⋮

$$\varphi_n(t) = 1 + t + \frac{t^2}{2!} + \frac{t^3}{3!} + \dots + \frac{t^n}{n!}$$

O limite dessa seqüência, que converge uniformemente em todo intervalo da reta, é a função  $\varphi(t) = e^t$ .

2) Mesma questão para a equação diferencial ordinária

$$\dot{x} = 2tx \text{ e condições iniciais } (t_0, x_0) = (0, 1).$$

Assim:

$$\varphi_0(t) = 1$$

$$\varphi_1(t) = 1 + \int_0^t 2z \, dz = 1 + t^2$$

$$\varphi_2(t) = 1 + \int_0^t 2z(1+z^2) \, dz = 1 + t^2 + \frac{t^4}{2}$$

$$\varphi_3(t) = 1 + t^2 + \frac{t^4}{2} + \frac{t^6}{6}$$

⋮

$$\varphi_n(t) = 1 + t^2 + \frac{t^4}{2!} + \dots + \frac{t^n}{n!}$$

Tal seqüência converge uniformemente para  $e^{t^2}$ .



### §3 - PROLONGAMENTOS DE SOLUÇÕES. INTERVALOS MAXIMAIS

Se  $\varphi$  é uma solução do sistema de equações diferenciais ordinárias (2), definida num intervalo aberto  $I$ , dizemos que  $\hat{\varphi}$  é um prolongamento de  $\varphi$  se  $\hat{\varphi}$  é solução de (2) e está definida em um intervalo aberto  $\hat{I}$  que contém propriamente  $I$ . Se uma solução  $\varphi$  não admite prolongamento dizemos que ela é uma solução maximal e seu intervalo de definição é denominado intervalo maximal de existência de  $\varphi$ .

Se  $\dot{x} = f(t, x)$  é tal que  $f(t, x)$  é contínua em um aberto não vazio  $A \subset \mathbb{R}^{n+1}$  e para este sistema valem as conclusões i) e ii) do Teorema 1, para cada  $(t_0, x_0) \in A$  consideremos a totalidade dos pares  $(\varphi_\alpha, I_\alpha)$ ,  $\alpha \in G$ , em que  $\varphi_\alpha$ , definida no intervalo aberto  $I_\alpha$ , é a solução de  $\dot{x} = f(t, x)$ ,  $t_0 \in I_\alpha$  e  $\varphi_\alpha(t_0) = x_0$ . Seja

$$\hat{I} = \bigcup_{\alpha \in G} I_\alpha$$

a reunião de todos os intervalos abertos assim considerados; trata-se evidentemente de um intervalo aberto que contém  $t_0$ , denotado por  $m(t_0, x_0) < t < M(t_0, x_0)$ .

Se os intervalos abertos  $I_{\alpha}$  são denotados por  $a_{\alpha} < t < b_{\alpha}$ , é fácil ver que

$$m(t_0, x_0) = \inf_{\alpha \in G} a_{\alpha} \quad \text{e} \quad M(t_0, x_0) = \sup_{\alpha \in G} b_{\alpha}.$$

Por outro lado, dado  $t \in \hat{I}$ , existe  $\alpha_0 \in G$  e uma solução definida em  $I_{\alpha_0}$  de modo que  $t \in I_{\alpha_0}$ ; a este valor de  $t \in \hat{I}$  associamos  $\varphi_{\alpha_0}(t)$  que independe, pela unicidade, da particular solução  $\varphi_{\alpha_0}$  considerada.

Isto permite definir a função  $\hat{\varphi}$ , no intervalo  $\hat{I}$ , pela relação  $\hat{\varphi}(t) = \varphi_{\alpha_0}(t)$ . Tal função  $\hat{\varphi}$  é evidentemente uma solução de  $\dot{x} = f(t, x)$ , definida no intervalo aberto  $\hat{I}$  e tal que  $\hat{\varphi}(t_0) = x_0$ . É óbvio que  $(\hat{\varphi}, \hat{I})$  pertence à totalidade de pares acima considerada e consequentemente  $\hat{\varphi}$  é uma solução maximal definida no intervalo maximal  $\hat{I}$ .

As considerações acima são a prova do seguinte teorema:

**TEOREMA 2** - Seja  $\dot{x} = f(t, x)$  um sistema de equações diferenciais ordinárias em que  $f: A \subset \mathbb{R}^{n+1} \rightarrow \mathbb{R}^n$  é contínua em  $A$  e valem as conclusões i) e ii) do Teorema 1. Então, a cada  $(t_0, x_0) \in A$  corresponde uma única solução maximal  $\hat{\varphi}$  definida num intervalo aberto  $\hat{I}$ ,  $t \in \hat{I}$  e  $\hat{\varphi}(t_0) = x_0$ .

OBSERVAÇÃO: Claro está que, se  $(t_1, x_1)$  pertence ao gráfico da solução  $\hat{\varphi}$  construída a partir de  $(t_0, x_0)$ , isto é,  $\hat{\varphi}(t_1) = x_1$ , então a solução maximal construída a partir de  $(t_1, x_1)$  é precisamente  $\hat{\varphi}$ .

O gráfico de uma solução maximal  $\hat{\varphi}$  de intervalo maximal  $\hat{I}$ , isto é, o conjunto dos pares  $(t, \hat{\varphi}(t))$  quando  $t$  varia em  $\hat{I}$ , chama-se a órbita associada à solução maximal  $\hat{\varphi}$ .

COROLÁRIO 1 - Se  $f$  é contínua em  $A \subset \mathbb{R}^{n+1}$  e para  $\dot{x} = f(t, x)$  valem as conclusões i) e ii) do Teorema 1, o conjunto aberto  $A$  é a reunião (disjunta) das órbitas associadas às soluções maximais de  $\dot{x} = f(t, x)$ .

TEOREMA 3 - Seja  $\dot{x}^i = f^i(t, x^1, \dots, x^n)$ ,  $i=1, 2, \dots, n$ , um sistema de equações diferenciais ordinárias em que as  $f^i: A \subset \mathbb{R}^{n+1} \rightarrow \mathbb{R}$  são contínuas em  $A$  e admitem as  $n^2$  derivadas parciais  $\frac{\partial f^i}{\partial x^j}(t, x^1, \dots, x^n)$  também contínuas em  $A$ . Seja ainda  $C$  um subconjunto compacto de  $\mathbb{R}^{n+1}$ , contido em  $A$ , e  $x = \varphi(t)$  uma solução maximal de  $\dot{x}^i = f^i(t, x^1, \dots, x^n)$ ,  $i=1, 2, \dots, n$ , com intervalo maximal  $m_1 < t < m_2$ . Então, se  $m_2 < +\infty$ , existe um número  $\epsilon_2 > 0$  tal que para todo  $t > m_2 - \epsilon_2$ , o ponto  $(t, \varphi(t))$  não pertence à  $C$ . De modo semelhante, se  $m_1 > -\infty$ , existe  $\epsilon_1 > 0$  tal que para todo  $t < m_1 + \epsilon_1$  o ponto

$(t, \varphi(t))$  não pertence à  $C$ .

Prova: Consideraremos somente o caso  $m_2 < +\infty$  já que o caso  $m_1 > -\infty$  é análogo. A distância  $\rho$  entre o compacto  $C$  e o fechado  $F$  complementar de  $A$  em  $\mathbb{R}^{n+1}$  é positiva pois  $C$  não encontra  $F$ . De fato, se  $\rho = 0$ , como  $\rho = \inf \{d(y, F)\}$ , dado  $n$  inteiro, existe  $y_n \in C$  tal que  $d(y_n, F) < \frac{1}{n}$ ; como a seqüência  $(y_n)$  admite uma subsequência convergente para  $y_0 \in C$ , podemos garantir que  $d(y_0, F) = 0$ , isto é,  $y_0$  pertence à  $F$  e à  $C$  o que é absurdo. Seja  $C^*$  o conjunto dos pontos de  $\mathbb{R}^{n+1}$  cuja distância à  $C$  é menor ou igual à  $\frac{\rho}{2}$ . É óbvio que  $C^*$  está contido em  $A$  e como  $C^*$  é compacto existem números positivos  $M$  e  $K$  tais que

$$\|f(t, x)\| \leq M \quad \text{e} \quad \left| \frac{\partial f^i}{\partial x^j}(t, x) \right| \leq K$$

para todo  $(t, x) \in C^*$ ,  $i, j = 1, 2, \dots, n$ ,  $f(t, x) = (f^1, \dots, f^n)$ . Toda a vizinhança cúbica  $(\frac{\rho}{2}, \frac{\rho}{2})$  e que tem centro em um ponto  $(t_0, x_0)$  de  $C$  está contida em  $C^*$ ; escolhendo  $a^*$  como no Teorema 1,  $0 < a^* < \min\{\frac{\rho}{2}, \frac{\rho}{2M}, \frac{1}{K}\}$ , teremos a existência de uma solução  $\varphi(t)$  definida no intervalo  $|t - t_0| \leq a^*$  e satisfazendo  $\|\varphi(t) - x_0\| \leq \frac{\rho}{2}$ ,  $a^*$  não dependendo do particular ponto  $(t_0, x_0)$  tomado em  $C$ . O número  $e_2$  procurado pode ser escolhido como  $e_2 = a^*$ . Se, por hipótese de absurdo, existir  $t_0 > (m_2 - e_2) = (m_2 - a^*)$

tal que  $(t_0, \varphi(t_0)) \in C$ , tomando êste par como condições iniciais, a solução  $\varphi(t)$  estaria definida a direita de  $m_2$  e  $m_1 < t < m_2$  não seria o intervalo maximal de  $\varphi(t)$ . Isto conclue a prova.

**COROLÁRIO 2** - Suponhamos que nas hipóteses do Teorema 3,

o aberto  $A$  seja da forma  $A = R \times \Delta$ ,  $\Delta$  aberto de  $R^n$ . Sendo  $K$  um compacto de  $R^n$  contido em  $\Delta$  e  $x = \varphi(t)$  solução de intervalo maximal  $m_1 < t < m_2$ , se  $m_2 < +\infty$  existe  $e_2 > 0$  tal que, para todo  $t > (m_2 - e_2)$ ,  $\varphi(t)$  não pertence à  $K$ ; análogamente, se  $m_1 > -\infty$ , existe  $e_1 > 0$  tal que, para todo  $t < (m_1 + e_1)$ , o ponto  $\varphi(t)$  não pertence à  $K$ .

Prova: Provaremos para o caso  $m_2 < +\infty$ , o outro sendo aná-

logo. Seja  $m < m_2 < +\infty$  e  $I = [m, m_2]$ , isto é, o conjunto dos números reais  $t$  tais que  $m \leq t \leq m_2$ . O conjunto  $C = I \times K$  é compacto e está contido em  $A = R \times \Delta$  pois  $K \subset \Delta$ . Pelo Teorema 3 existe  $e_2$  (e podemos supor  $e_2 < (m_2 - m)$ ) tal que para todo  $t > m_2 - e_2 > m$  tem-se  $(t, \varphi(t))$  fora de  $I \times K$ ; mas  $t \in I$  logo  $\varphi(t)$  está fora de  $K$  o que completa a prova.

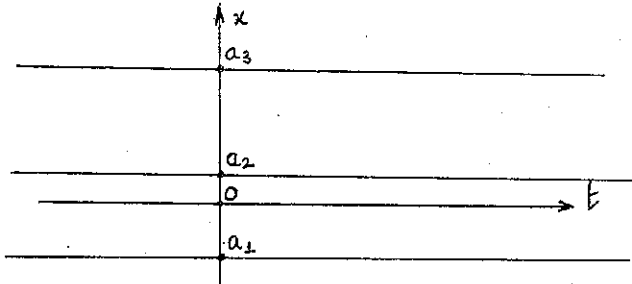
**OBSERVAÇÃO:** Se o sistema (2)' fôr autônomo e as

$f^i(x^1, \dots, x^n)$  forem contínuas e com derivadas parciais contínuas em  $A$  então  $A = R \times \Delta$ ,  $\Delta$  aberto de  $R^n$

onde as  $f^i(x^1, \dots, x^n)$  são de classe  $C^1$  (contínuas com derivadas parciais contínuas em  $\Delta$ ). Neste caso valem evidentemente as conclusões do Corolário 2.

EXEMPLO 7 - Seja  $\dot{x} = \frac{1}{g(x)}$ , (14)

uma equação diferencial ordinária, autônoma, em que  $g(x)$  é um polinômio de  $n$  raízes reais distintas duas a duas  $a_1, a_2, \dots, a_n$ . No plano  $(t, x)$  o domínio  $A$  da função  $f(t, x)$  é o produto  $R \times \Delta$ ,  $\Delta$  sendo o complementar (aberto) em  $R$  dos números  $a_1, a_2, \dots, a_n$ .



Levando-se em conta que  $g(x)$  tem sinal constante nos intervalos definidos por  $a_1, a_2, \dots, a_n$ , estudar os intervalos maximais de todas as soluções da equação (14).

Consideremos agora um sistema de equações diferenciais lineares:

$$\dot{x}^i = \sum_{j=1}^n a_j^i(t) x^j + b^i(t) = f^i(t, x^1, \dots, x^n), \quad i=1, 2, \dots, n, \quad (15)$$

em que os coeficientes  $a_j^i(t)$  e os t ermos independentes  $b^i(t)$  s ao definidos e cont ınuos no intervalo  $q_1 < t < q_2$ .

TEOREMA 4 - T oda solu  o do sistema (15) correspondente  as condi  es iniciais  $(t_0, x_0^1, x_0^2, \dots, x_0^n)$ ,  $q_1 < t_0 < q_2$ , tem como intervalo maximal o pr oprio intervalo  $q_1 < t < q_2$ .

Prova: Inicialmente conv em notar que as fun  es

$f^i(t, x^1, \dots, x^n)$  do sistema (15) est ao definidas no conjunto aberto  $A = (q_1, q_2) \times \mathbb{R}^n$ , isto  e,  $(t, x) \in A$  se, e s omente se,  $x \in \mathbb{R}^n$  e  $q_1 < t < q_2$ . Al em disso as  $f^i(t, x^1, \dots, x^n)$  s ao  bviamente cont ınuas em  $A$  e admitem derivadas parciais  $\frac{\partial f^i}{\partial x^j} = a_j^i(t)$  cont ınuas em  $A$ . Ao sistema (15)  e, portanto, aplic avel o Teorema 1.

Mostremos agora que, fixado um intervalo fechado

$r_1 \leq t \leq r_2$ , contido em  $q_1 < t < q_2$ , isto  e,  $q_1 < r_1 \leq t \leq r_2 < q_2$ , a solu  o correspondente  as condi  es iniciais  $(t_0, x_0^1, \dots, x_0^n)$  com  $r_1 \leq t_0 \leq r_2$  est a definida em  $r_1 \leq t \leq r_2$ . De fato, seja  $\tilde{K}$  uma constante positiva tal que  $|\frac{\partial f^i}{\partial x^j}| = |a_j^i(t)| \leq \tilde{K}$ ,  $i, j = 1, 2, \dots, n$ ,  $r_1 \leq t \leq r_2$ ; isto  e poss ıvel pois as fun  es  $a_j^i(t)$  s ao cont ınuas no compacto  $r_1 \leq t \leq r_2$ . Usando o m etodo de aproxima  es sucessivas visto no Teorema 1, pode-se construir a seq u encia seguinte:

$$\varphi_0(t) = x_0 = (x_0^1, x_0^2, \dots, x_0^n) ;$$

$$\varphi_1(t) = x_0 + \int_{t_0}^t f(\tau, x_0) d\tau, \quad r_1 \leq t_0, t \leq r_2,$$

$$\varphi_2(t) = x_0 + \int_{t_0}^t f(\tau, \varphi_1(\tau)) d\tau, \quad r_1 \leq t_0, t \leq r_2,$$

⋮

$$\varphi_{i+1}(t) = x_0 + \int_{t_0}^t f(\tau, \varphi_i(\tau)) d\tau, \quad r_1 \leq t_0, t \leq r_2,$$

etc.

Mas como tôdas as  $\varphi_i(t)$  assim construidas são contínuas no intervalo fechado  $r_1 \leq t \leq r_2$ , em particular existe uma constante  $C > 0$  tal que

$$\|\varphi_1(t) - \varphi_0(t)\| \leq C$$

e, portanto,

$$\begin{aligned} \|\varphi_2(t) - \varphi_1(t)\| &= \left\| \int_{t_0}^t [f(\tau, \varphi_1(\tau)) - f(\tau, \varphi_0(\tau))] d\tau \right\| \leq \\ &\leq \left| \int_{t_0}^t \|f(\tau, \varphi_1(\tau)) - f(\tau, \varphi_0(\tau))\| d\tau \right| \leq n\tilde{K}C |t - t_0| ; \end{aligned}$$

chamando  $n\tilde{K} = K$  teremos a seguir

$$\begin{aligned} \|\varphi_3(t) - \varphi_2(t)\| &\leq \left| \int_{t_0}^t \|f(\tau, \varphi_2(\tau)) - f(\tau, \varphi_1(\tau))\| d\tau \right| \leq \\ &\leq CK^2 \left| \int_{t_0}^t |\tau - t_0| d\tau \right| = \frac{CK^2}{2!} |t - t_0|^2 \quad \text{e assim sucessivamente,} \end{aligned}$$

$$\|\varphi_{i+1}(t) - \varphi_i(t)\| \leq \frac{CK^i |t - t_0|^i}{i!}, \quad \text{e portanto:}$$

$$\|\varphi_{i+1}(t) - \varphi_i(t)\| \leq \frac{CK^i}{i!} (r_2 - r_1)^i .$$

Os números  $\frac{C[K.(r_2-r_1)]^i}{i!}$  formam uma série convergente donde a seqüência de funções  $(\varphi_i(t))_i$  converge uniformemente para uma função contínua  $\varphi(t)$  definida em  $r_1 \leq t \leq r_2$ . Mas a seqüência  $\int_{t_0}^t f(z, \varphi_i(z)) dz$  converge uniformemente para a função  $\int_{t_0}^t f(z, \varphi(z)) dz$  no intervalo  $r_1 \leq t \leq r_2$ ; de fato, dado  $\epsilon > 0$ , existe  $N_0(\epsilon)$  tal que para todo  $i \geq N_0(\epsilon)$  tem-se

$$\|\varphi_i(z) - \varphi(z)\| \leq \epsilon, \quad r_1 \leq z \leq r_2.$$

Portanto para  $i \geq N_0(\epsilon)$  e  $r_1 \leq t_0, t \leq r_2$  temos:

$$\begin{aligned} \left\| \int_{t_0}^t [f(z, \varphi_i(z)) - f(z, \varphi(z))] dz \right\| &\leq \left| \int_{t_0}^t \|f(z, \varphi_i(z)) - f(z, \varphi(z))\| dz \right| \leq \\ &\leq \left| \int_{t_0}^t K \|\varphi_i(z) - \varphi(z)\| dz \right| \leq K\epsilon(r_2 - r_1). \end{aligned}$$

isto significa que

$$\varphi(t) = x_0 + \int_{t_0}^t f(z, \varphi(z)) dz, \quad r_1 \leq t_0, t \leq r_2,$$

logo  $\varphi(t_0) = x_0$  e  $\dot{\varphi}(t) = f(t, \varphi(t))$  o que mostra que a função  $\varphi(t)$  definida em  $r_1 \leq t \leq r_2$  corresponde às condições iniciais  $(t_0, x_0)$  donde pelo Teorema 1 é a solução procurada do sistema (15) e a prova do Teorema 4 está completa.

EXEMPLO 8 - Um importante caso particular do sistema (15) é o sistema linear homogêneo de coeficientes constantes

$$\dot{x}^i = \sum_{j=1}^n a_j^i x^j .$$

O Teorema 4 garante que t $\hat{o}$ da solu $\hat{c}$ o $\hat{a}$ o d $\hat{e}$ ste sistema est $\hat{a}$  definida em t $\hat{o}$ da a reta.

Para obter uma representa $\hat{c}$ o $\hat{a}$ o matricial d $\hat{e}$ ste  $\hat{u}$ lti-  
mo sistema indica-se por  $A$  a matriz quadrada de ordem  $n$   
em que o elemento da linha  $i$  e da coluna  $j$   $\acute{e}$  precisa-  
mente  $a_j^i$  ; pode-se tamb $\acute{e}$ m indicar por  $x$  e  $\dot{x}$  as matri-  
zes colunas:

$$x = \begin{bmatrix} x^1 \\ x^2 \\ \vdots \\ x^n \end{bmatrix} \quad \text{e} \quad \dot{x} = \begin{bmatrix} \dot{x}^1 \\ \dot{x}^2 \\ \vdots \\ \dot{x}^n \end{bmatrix}$$

O sistema linear homog $\hat{e}$ neo de coeficientes constan-  
tes pode, portanto, ser representado pela equa $\hat{c}$ o $\hat{a}$ o matri-  
cial

$$\dot{x} = A \cdot x .$$

Voltaremos a estudar  $\hat{e}$ ste sistema, oportunamente.

§4 - TEOREMAS DE DEPENDÊNCIA CONTÍNUA E DIFERENCIÁVEL  
DAS SOLUÇÕES RELATIVAMENTE A PARÂMETROS

Seja

$$\dot{x} = f^i(t, x^1, \dots, x^n, \mu^1, \dots, \mu^\ell), \quad i=1, 2, \dots, n \quad (16)$$

um sistema de equações diferenciais ordinárias de 1ª ordem em que os segundos membros

$$f^i(t, x^1, \dots, x^n, \mu^1, \dots, \mu^\ell), \quad i=1, 2, \dots, n, \quad (17)$$

assim como suas derivadas parciais

$$\begin{aligned} & f_j^i(t, x^1, \dots, x^n, \mu^1, \dots, \mu^\ell) = \\ & = \frac{\partial f^i}{\partial x^j}(t, x^1, \dots, x^n, \mu^1, \dots, \mu^\ell), \quad i, j=1, 2, \dots, n, \end{aligned} \quad (18)$$

são definidas e contínuas num aberto  $\tilde{A}$  de  $R^{n+1+\ell}$ . Veto-  
rialmente escreveremos

$$\dot{x} = f(t, x, \mu) \quad (16)'$$

onde  $x = (x^1, \dots, x^n)$ ,  $\mu = (\mu^1, \dots, \mu^\ell)$  e  $f = (f^1, \dots, f^n)$ .

TEOREMA 5 - Se  $(t_0, x_0, \mu_0)$  é um ponto do aberto  $\tilde{A}$ , exis-  
tem números positivos  $a^*$  e  $\rho$  tais que para

$$\|\mu - \mu_0\| \leq \rho$$

a solução  $x = \varphi(t, \mu)$  do sistema (16)', que satisfaz à condição inicial

$$\varphi(t_0, \mu) = x_0,$$

é definida no intervalo  $|t - t_0| \leq a^*$  e é função contínua de  $\mu$  e  $t$ , para  $|t - t_0| \leq a^*$  e  $\|\mu - \mu_0\| \leq \rho$ .

Prova: Para cada  $\mu$  no conjunto aberto de  $R^l$ , onde variam  $\mu^1, \dots, \mu^l$ , existe pelo Teorema 1, uma única solução  $x = \varphi(t, \mu)$  tal que  $\varphi(t_0, \mu) = x_0$ . Além disso, observando-se cuidadosamente a prova do Teorema 1, dado  $(t_0, x_0, \mu_0) \in \tilde{A}$  existem números  $a, b, \rho$  que definem uma vizinhança cúbica contida em  $\tilde{A}$  caracterizada pelas desigualdades

$$|t - t_0| \leq a, \quad \|x - x_0\| \leq b \quad \text{e} \quad \|\mu - \mu_0\| \leq \rho.$$

Existem  $M > 0$  e  $K > 0$  tais que

$$\|f(t, x, \mu) - f(t, x^*, \mu)\| \leq K \|x - x^*\|$$

e

$$\|f(t, x, \mu)\| \leq M, \quad \text{desde que } |t - t_0| \leq a, \quad \|\mu - \mu_0\| \leq \rho, \quad \|x - x_0\| \leq b \quad \text{e} \\ \|x^* - x_0\| \leq b.$$

Escolhendo-se  $a^*$  tal que  $0 < a^* < \min(a, \frac{b}{M}, \frac{1}{K})$  chega-se finalmente à

$$\|\varphi_{i+1}(t, \mu) - \varphi_i(t, \mu)\| \leq b(Ka^*)^i \quad i=1, 2, 3, \dots$$

e, por ser  $Ka^* < 1$ , conclue-se que a seqüência  $\varphi_1(t, \mu), \dots, \varphi_n(t, \mu), \dots$  converge uniformemente nas variáveis  $(t, \mu)$ ,  $|t - t_0| \leq a^*$  e  $\|\mu - \mu_0\| \leq \rho$ , para a função solução  $x = \varphi(t, \mu)$ ,  $\varphi(t_0, \mu) = x_0$ , que será necessariamente contínua nas variáveis  $(t, \mu)$ , o que conclue a prova.

PROPOSIÇÃO 3 (lema de Gronvvall) - Seja  $u(t)$  uma função real contínua para  $t$  no intervalo  $t_0 \leq t \leq t_1$ ; suponhamos que  $u(t)$  satisfaça a desigualdade de integral

$$u(t) \leq \int_{t_0}^t (\alpha \cdot u(z) + \beta) dz, \quad \alpha > 0, \beta > 0, \quad (19)$$

para todo  $t$  no intervalo  $t_0 \leq t \leq t_1$ . Então, vale a estimativa seguinte no mesmo intervalo:

$$u(t) \leq \frac{\beta}{\alpha} [e^{\alpha(t-t_0)} - 1] \quad (20)$$

Prova:

Seja  $v(t) = \int_{t_0}^t (\alpha \cdot u(z) + \beta) dz$  o que acarreta  $\dot{v}(t) = \alpha \cdot u(t) + \beta$  ou  $u(t) = \frac{1}{\alpha} [\dot{v}(t) - \beta]$ .

Da desigualdade (19) segue que

$$\frac{1}{\alpha} [\dot{v}(t) - \beta] \leq v(t)$$

ou equivalentemente

$$\dot{v}(t) - \alpha \cdot v(t) \leq \beta$$

que multiplicada por  $e^{-\alpha t}$  fornece:

$$\dot{v}(t) \cdot e^{-\alpha t} - v(t) \cdot \alpha e^{-\alpha t} = \frac{d}{dt}[v(t) \cdot e^{-\alpha t}] \leq \beta \cdot e^{-\alpha t}.$$

Integrando de  $t_0$  à  $t$  e por ser  $v(t_0) = 0$

tem-se

$$v(t) \cdot e^{-\alpha t} \leq \frac{\beta}{\alpha} [e^{-\alpha t_0} - e^{-\alpha t}] \text{ donde a tese (20).}$$

Voltemos ao sistema (16) de equações diferenciais ordinárias em que os segundos membros (17) são contínuos no aberto  $\tilde{A} \subset R^{n+1+l}$  assim como suas derivadas parciais (18). Fixemos  $(t_0, x_0)$  em  $R^{n+1}$  tal que existe  $\mu_0 \in R^l$  para o qual  $(t_0, x_0, \mu_0) \in \tilde{A}$ ; seja  $\tilde{A}(t_0, x_0)$  o conjunto dos elementos  $\mu$  de  $R^l$  tais que  $(t_0, x_0, \mu) \in \tilde{A}$ . Já que  $\tilde{A}(t_0, x_0)$  é não vazio (pois  $\mu_0 \in \tilde{A}(t_0, x_0)$ ) considere-se o conjunto  $E(t_0, x_0)$  constituído dos pares  $(t, \mu) \in R^{l+1}$  tais que  $\mu \in \tilde{A}(t_0, x_0)$  e  $t$  pertence ao intervalo maximal da solução  $\varphi(t, \mu)$  de (16) que satisfaz a condição inicial  $\varphi(t_0, \mu) = x_0$ . A solução  $\varphi(t, \mu)$  pode portanto ser considerada como uma função definida no conjunto  $E(t_0, x_0)$ . Indicando por  $\pi_2$  a projeção definida em  $R^{n+1+l}$  que à terna  $(t, x, \mu)$  associa o par  $(t, x)$ , podemos concluir que  $(t_0, x_0)$  pertence evidentemente ao conjunto  $\pi_2(\tilde{A}) \subset R^{n+1}$ .

TEOREMA 6 - Suponhamos que o sistema (16) de equações diferenciais ordinárias satisfaça às condições (17) e (18) e seja  $(t_0, x_0)$  um elemento de  $\pi_2(\tilde{A})$ . Então  $E(t_0, x_0)$  é aberto em  $R^{l+1}$  e  $\varphi(t, \mu)$  é contínua em  $E(t_0, x_0)$ .

Prova: Note-se inicialmente que o par  $(t_0, x_0)$  pertence ao conjunto  $E(t_0, x_0)$  e o Teorema 5 garante, essencialmente, que  $\varphi(t, \mu)$  é contínua nas vizinhanças de  $(t_0, x_0)$  e, portanto,  $(t_0, x_0)$  é ponto interior de  $E(t_0, x_0)$ . Para mostrar que  $E(t_0, x_0)$  é aberto vamos considerar um ponto genérico  $(\tilde{t}, \tilde{\mu})$  de  $E(t_0, x_0)$ , isto é,  $\tilde{t}$  pertence ao intervalo maximal da solução  $\varphi(t, \tilde{\mu})$  caracterizada pela condição inicial  $\varphi(t_0, \tilde{\mu}) = x_0$ ; suponhamos  $\tilde{t} > t_0$  e escolhamos  $r_2$  pertencente ao intervalo maximal de  $\varphi(t, \tilde{\mu})$  tal que  $t_0 < \tilde{t} < r_2$  (caso  $\tilde{t} < t_0$  é análogo, isto é, escolhe-se  $r_1$  no intervalo maximal de  $\varphi(t, \tilde{\mu})$  satisfazendo  $r_1 < \tilde{t} < t_0$ ). Para provar que  $E(t_0, x_0)$  é aberto será pois suficiente mostrar que existe uma vizinhança de  $\tilde{\mu}$ ,  $\|\mu - \tilde{\mu}\| \leq \rho$  tal que  $\varphi(t, \mu)$  está definida no intervalo  $t_0 \leq t \leq r_2$  para todo  $\mu$  nessa vizinhança. Quando  $t$  percorre o intervalo fechado  $t_0 \leq t \leq r_2$  o ponto  $(t, \varphi(t, \tilde{\mu}), \tilde{\mu})$  descreve uma curva no conjunto aberto de  $\tilde{A}$  de  $R^{n+l}$ . Existem  $a > 0$  e  $b > 0$  tais que o conjunto  $\tilde{B}$  dos pontos  $(t, x, \mu)$  que satisfazem às desigualdades

$$\begin{aligned}t_0 &\leq t \leq r_2 \\ \|x - \varphi(t, \tilde{\mu})\| &\leq a \\ \|\mu - \tilde{\mu}\| &\leq b\end{aligned}$$

é um conjunto compacto de  $R^{n+1+l}$ , contido em  $\tilde{A}$ . Pode-se determinar uma constante positiva  $K$  para a qual vale a relação

$$\|f(t, x_2, \mu) - f(t, x_1, \mu)\| \leq K \|x_2 - x_1\| \quad (21)$$

quaisquer que sejam  $(t, x_2, \mu)$  e  $(t, x_1, \mu)$  no compacto  $\tilde{B}$  (ver Proposição 2). Por outro lado, face à continuidade uniforme da função  $f(t, x, \mu)$  no compacto  $\tilde{B}$ , dado  $\beta > 0$  e arbitrário, pode-se determinar  $b^*(\beta) \leq b$  tal que

$$\|f(t, x, \mu) - f(t, x, \tilde{\mu})\| \leq \beta \quad (22)$$

para todo  $\mu$  satisfazendo  $\|\mu - \tilde{\mu}\| \leq b^*(\beta)$ . Agora, tomado  $\mu$  na vizinhança  $\|\mu - \tilde{\mu}\| \leq b^*(\beta)$ , considere-se a solução  $\varphi(t, \mu)$  de (16) tal que  $\varphi(t_0, \mu) = x_0$  e suponhamo-la definida para  $t_0 \leq t \leq t_2$ ,  $t_2 \leq r_2$ . A correspondente curva  $(t, \varphi(t, \mu), \mu)$ ,  $t_0 \leq t \leq t_2$ , estará contida em  $\tilde{B}$ , desde que se escolha  $\beta$  convenientemente; de fato,

$$\varphi(t, \mu) - \varphi(t, \tilde{\mu}) = \int_{t_0}^t [f(\tau, \varphi(\tau, \mu), \mu) - f(\tau, \varphi(\tau, \tilde{\mu}), \tilde{\mu})] d\tau, \quad t_0 \leq t \leq t_2,$$

e, portanto, usando (21) e (22), chega-se à

$$\begin{aligned} \|\varphi(t, \mu) - \varphi(t, \tilde{\mu})\| &\leq \int_{t_0}^t \|f(\tau, \varphi(\tau, \mu), \mu) - f(\tau, \varphi(\tau, \tilde{\mu}), \mu)\| d\tau \\ &+ \int_{t_0}^t \|f(\tau, \varphi(\tau, \tilde{\mu}), \mu) - f(\tau, \tilde{\mu}, \tilde{\mu})\| d\tau \leq \\ &\leq \int_{t_0}^t [K\|\varphi(\tau, \mu) - \varphi(\tau, \tilde{\mu})\| + \beta] d\tau . \end{aligned}$$

Pelo Lema de Gronvval (Proposição 3) obtém-se

$$\|\varphi(t, \mu) - \varphi(t, \tilde{\mu})\| \leq \frac{\beta}{K} (e^{K(t-t_0)} - 1) \leq \frac{\beta}{K} (e^{K(r_2-t_0)} - 1) ;$$

escolhendo  $\beta$  tal que  $\frac{\beta}{K}(e^{K(r_2-t_0)} - 1) \leq a$  e chamando de  $\rho$  o valor correspondente de  $b^*(\beta)$  podemos garantir que

$$\|\varphi(t, \mu) - \varphi(t, \tilde{\mu})\| \leq a \quad (23)$$

sempre que se tenha  $\|\mu - \tilde{\mu}\| \leq \rho$ ; isto é, para  $t$  satisfazendo  $t_0 \leq t \leq r_2$ , a curva  $(t, \varphi(t, \mu), \mu)$  está contida em  $\tilde{B}$  qualquer que seja  $\mu$  na vizinhança  $\|\mu - \tilde{\mu}\| \leq \rho$ .

Finalmente tomemos um valor  $\mu = \mu_1$  nessa vizinhança

$\|\mu - \tilde{\mu}\| \leq \rho$  e vamos mostrar que a solução  $\varphi(t, \mu_1)$ ,

$\varphi(t_0, \mu_1) = x_0$ , está definida para todo  $t$  no intervalo  $t_0 \leq t \leq r_2$ . Seja  $m_1 < t < m_2$  o intervalo maximal dessa solução  $\varphi(t, \mu_1)$ ; se  $m_2 > r_2$  nada há a provar; se, ao contrário,  $m_2 \leq r_2$ , pelo Teorema 3 existe um número  $\epsilon_2 > 0$  tal que para todo  $t > (m_2 - \epsilon_2)$  o ponto  $(t, \varphi(t, \mu_1))$  não pertence ao compacto  $\tilde{B}(\mu_1)$  conjunto dos pares  $(t, x)$  tais que  $(t_0 \leq t \leq r_2)$  e  $\|\dot{x} - \varphi(t, \tilde{\mu})\| \leq a$ , isto é, exis-

te  $t_2 > (m_2 - \epsilon_2)$  tal que  $\|\varphi(t_2, \mu_1) - \varphi(t_2, \tilde{\mu})\| > a$  com  $t_2 > t_0$  satisfazendo  $t_2 < m_2 \leq r_2$  o que é absurdo pela estimativa (23). Logo  $m_2 > r_2$  o que prova ser  $E(t_0, x_0)$  aberto em  $R^{l+1}$ . Para completar a prova do Teorema 6 mostraremos que  $\varphi(t, \mu)$  é contínua no aberto  $E(t_0, x_0)$ ; para isso é suficiente provar a continuidade num ponto genérico  $(\tilde{t}, \tilde{\mu})$  de  $E(t_0, x_0)$ . Como acima, estudemos unicamente o caso  $(\tilde{t} > t_0)$  já que o caso  $(\tilde{t} < t_0)$  é análogo. Observando que o conjunto dos  $(t, \mu)$  que satisfazem  $\|\mu - \tilde{\mu}\| \leq \rho$  e  $(t_0 \leq t \leq r_2)$  é uma vizinhança de  $(\tilde{t}, \tilde{\mu})$  podemos estimar  $\|\varphi(t, \mu) - \varphi(\tilde{t}, \tilde{\mu})\|$  do seguinte modo:

$$\|\varphi(t, \mu) - \varphi(\tilde{t}, \tilde{\mu})\| \leq \|\varphi(t, \mu) - \varphi(t, \tilde{\mu})\| + \|\varphi(t, \tilde{\mu}) - \varphi(\tilde{t}, \tilde{\mu})\|;$$

como  $\|\varphi(t, \tilde{\mu}) - \varphi(\tilde{t}, \tilde{\mu})\|$  tende a zero quando  $t$  tende à  $\tilde{t}$  (continuidade em  $t$  de  $\varphi(t, \tilde{\mu})$ ) e

$$\|\varphi(t, \mu) - \varphi(t, \tilde{\mu})\| \leq \frac{\beta}{K} [e^{K(r_2 - t_0)} - 1]$$

para  $\|\mu - \tilde{\mu}\| \leq b^*(\beta)$  conclue-se que  $\|\varphi(t, \mu) - \varphi(\tilde{t}, \tilde{\mu})\|$  tende a zero quando  $(t, \mu)$  tende à  $(\tilde{t}, \tilde{\mu})$  e a prova do Teorema 6 está completa.

**COROLÁRIO 3** - Seja  $(t_0, x_0, \mu_0)$  um ponto do aberto  $\tilde{A}$  e  $x = \varphi(t, \mu)$  uma solução do sistema (16) que satisfaz a condição inicial  $\varphi(t_0, \mu) = x_0$ .

Se a solução

$$x = \varphi(t, \mu_0)$$

está definida para  $r_1 \leq t \leq r_2$  então existe um número  $\rho > 0$  tal que para  $\|\mu - \mu_0\| < \rho$  a solução  $x = \varphi(t, \mu)$  está definida no mesmo intervalo  $r_1 \leq t \leq r_2$  e  $\varphi(t, \mu)$  é contínua no conjunto dos pares  $(t, \mu)$  definido por  $\|\mu - \mu_0\| < \rho$  e  $r_1 \leq t \leq r_2$ .

PROPOSIÇÃO 4 (Lema de Hadamard) - Seja  $g(t^1, \dots, t^p, u^1, u^2, \dots, u^q)$  uma função de  $(p+q)$  variáveis reais definida num aberto conexo  $\Delta$  de  $\mathbb{R}^{p+q}$  que é convexo relativamente às variáveis  $(u^1, \dots, u^q)$ , isto é, sendo  $\tau = (t^1, \dots, t^p)$  e  $u = (u^1, \dots, u^q)$  tais que  $(\tau, u_1)$  e  $(\tau, u_2)$  estão em  $\Delta$  então o segmento  $\{(\tau, u_1) + s(\tau, (u_2 - u_1)), 0 \leq s \leq 1\}$ , está contido em  $\Delta$ . Suponhamos que  $g(\tau, u)$  e as derivadas parciais  $\frac{\partial g}{\partial u^j}(\tau, u)$ ,  $j = 1, 2, \dots, q$ , sejam contínuas em  $\Delta$ . Então dados  $(\tau, u_1)$  e  $(\tau, u_2)$  em  $\Delta$  tem-se

$$g(\tau, u_2) - g(\tau, u_1) = \sum_{j=1}^q h_j(\tau, u_1, u_2) \cdot (u_2^j - u_1^j), \quad (24)$$

onde  $h_j(\tau, u_1, u_2)$ ,  $j = 1, 2, \dots, q$ , são definidas e contínuas nos argumentos  $(\tau, u_1, u_2)$  e, em particular, quando  $u_1 = u_2$ .

Prova: Seja  $w(s) = u_1 + s(u_2 - u_1)$ ,  $0 \leq s \leq 1$ .

$$g(\tau, u_2) - g(\tau, u_1) = g(\tau, w(1)) - g(\tau, w(0)) = \int_0^1 \frac{\partial}{\partial s} g(\tau, w(s)) ds.$$

Mas

$$\frac{\partial}{\partial s} g(\zeta, w(s)) = \frac{\partial}{\partial s} g(\zeta, w^1(s), \dots, w^q(s)) = \sum_{j=1}^q \frac{\partial g}{\partial s}(\zeta, w(s)) \cdot \frac{\partial w^j}{\partial s}(s) .$$

Como  $\frac{\partial w^j}{\partial s}(s) = u_2^j - u_1^j$ ,  $j = 1, 2, \dots, q$  e definindo

$$h_j(\zeta, u_1, u_2) = \int_0^1 \frac{\partial g}{\partial u^j}(\zeta, w(s)) ds \quad \text{obtem-se a fórmula (24)}$$

e a proposição está provada.

Voltemos agora ao sistema (16) do início do §4 satisfazendo às condições (17) e (18). Suponhamos além disso que as derivadas parciais

$$e_k^i(t, x^1, \dots, x^n, \mu^1, \dots, \mu^\ell) = \frac{\partial}{\partial \mu^k} f^i(t, x^1, \dots, x^n, \mu^1, \dots, \mu^\ell), \quad (25)$$

$$i=1, 2, \dots, n, \quad k=1, 2, \dots, \ell$$

sejam definidas e contínuas no aberto  $\tilde{A}$  de  $R^{n+1+\ell}$ .

Vamos demonstrar, no próximo Teorema 7, que as soluções de tal sistema (16), que dependem dos parâmetros  $\mu^1, \dots, \mu^\ell$ , também são diferenciáveis em relação a êsses parâmetros.

Precisamente provaremos o seguinte:

**TEOREMA 7** - Consideremos o sistema (16) de equações diferenciais ordinárias ordinárias satisfazendo

às condições (17), (18) e (25) e seja  $(t_0, x_0)$  um elemento de  $\pi_2(\tilde{A})$ . Então a solução  $\varphi(t, \mu)$  caracterizada pela condição inicial  $\varphi(t_0, \mu) = x_0$  além de contínua no aberto

$E(t_0, x_0)$  possui derivadas parciais contínuas  $\frac{\partial \varphi^i}{\partial \mu^k}(t, \mu)$  em  $E(t_0, x_0)$  e as derivadas parciais mistas  $\frac{\partial^2 \varphi^i}{\partial t \partial \mu^k}(t, \mu)$

existem contínuas em  $E(t_0, x_0)$  e não dependem da ordem da derivação. Além disso, como funções de  $t$ , as derivadas  $\frac{\partial \varphi^i}{\partial \mu^k}(t, \mu)$  satisfazem o sistema

$$\begin{aligned} \frac{\partial}{\partial t} \left( \frac{\partial \varphi^i}{\partial \mu^k}(t, \mu) \right) &= \sum_{j=1}^n f_j^i(t, \varphi(t, \mu), \mu) \frac{\partial \varphi^j}{\partial \mu^k}(t, \mu) + \\ &+ e_k^i(t, \varphi(t, \mu), \mu) \end{aligned} \quad (26)$$

e as condições iniciais  $\frac{\partial \varphi^i}{\partial \mu^k}(t_0, \mu) = 0$ ,  $i=1, 2, \dots, n$ ,  $k=1, 2, \dots, \ell$ .

Prova: Por simplicidade estudaremos o caso  $k=\ell$  e o vetor

$\mu = (\mu^1, \dots, \mu^\ell)$  será representado por  $\mu = (\lambda, \nu)$  em que  $\lambda = (\mu^1, \dots, \mu^{\ell-1})$  e  $\nu = \mu^\ell$ .

Consideremos o aberto  $E(t_0, x_0)$  de  $R^{\ell+1}$ , onde é contínua a solução  $\varphi(t, \mu)$  de (16) caracterizada por  $\varphi(t_0, \mu) = x_0$  (ver Teorema 6). Sejam as funções

$$\psi^i(t, \lambda, \nu_1, \nu_2) = \frac{1}{\nu_2 - \nu_1} (\varphi^i(t, \lambda, \nu_2) - \varphi^i(t, \lambda, \nu_1))$$

definidas para  $(t, \lambda, \nu_1)$  e  $(t, \lambda, \nu_2)$  em  $E(t_0, x_0)$  tais que  $\nu_2 \neq \nu_1$ .

Derivando em relação à  $t$  e levando em conta que  $\varphi(t, \mu)$  é solução do sistema (16) vem:

$$\frac{\partial \psi^i}{\partial t}(t, \lambda, \nu_1, \nu_2) = \frac{1}{(\nu_2 - \nu_1)} \left[ \frac{\partial \varphi^i}{\partial t}(t, \lambda, \nu_2) - \frac{\partial \varphi^i}{\partial t}(t, \lambda, \nu_1) \right] =$$

$$= \frac{1}{v_2 - v_1} [f^i(t, \varphi(t, \lambda, v_2), \lambda, v_2) - f^i(t, \varphi(t, \lambda, v_1), \lambda, v_1)].$$

Aplicando o lema de Hadamard (Proposição 4) à última expressão, pondo  $\tau = (t, \lambda)$ ,  $u_1 = (\varphi(t, \lambda, v_1), v_1)$ ,  $u_2 = (\varphi(t, \lambda, v_2), v_2)$  e  $g(\tau, u) = f^i(t, \varphi(t, \lambda, v), \lambda, v)$ , tem-se  $f^i(t, \varphi(t, \lambda, v_2), \lambda, v_2) - f^i(t, \varphi(t, \lambda, v_1), \lambda, v_1) =$   
 $= \sum_{j=1}^n h_j^i(\tau, u_1, u_2) (\varphi^j(t, \lambda, v_2) - \varphi^j(t, \lambda, v_1)) +$   
 $+ h_{n+1}^i(\tau, u_1, u_2) (v_2 - v_1)$  onde  $h_j^i(\tau, u_1, u_2) = \tilde{h}_j^i(t, \lambda, v_1, v_2)$ ,  $j=1, 2, \dots, n+1$ , são contínuas em todos os argumentos, e portanto:

$$\begin{aligned} & \frac{\partial}{\partial t} \psi^i(t, \lambda, v_1, v_2) = \\ & = \sum_{j=1}^n \tilde{h}_j^i(t, \lambda, v_1, v_2) \psi^j(t, \lambda, v_1, v_2) + \tilde{h}_{n+1}^i(t, \lambda, v_1, v_2) \end{aligned} \quad (27)$$

As equações (27) definem um sistema de equações diferenciais lineares na incógnita  $\psi^i(t, \lambda, v_1, v_2)$  os coeficientes conhecidos sendo as funções contínuas

$$\tilde{h}_j^i(t, \lambda, v_1, v_2), \quad i=1, 2, \dots, n, \quad j=1, 2, \dots, n+1.$$

Mas para  $t = t_0$  as funções  $\psi^i(t, \lambda, v_1, v_2)$  valem zero pois

$$\begin{aligned} \psi^i(t_0, \lambda, v_1, v_2) &= \frac{1}{v_2 - v_1} (\varphi^i(t_0, \lambda, v_2) - \varphi^i(t_0, \lambda, v_1)) = \\ &= \frac{1}{v_2 - v_1} (x_0^i - x_0^i). \end{aligned}$$

Chamemos de  $\psi_*^i(t, \lambda, v_1, v_2)$  as soluções do sistema (27) caracterizadas por  $\psi_*^i(t_0, \lambda, v_1, v_2) = 0$ ,  $i=1, 2, \dots, n$ .

Pelo Teorema 6 aplicado a essa solução do sistema (27), sabemos que ela é contínua nas variáveis  $(t, \lambda, v_1, v_2)$ . Por uma questão de unicidade de solução temos

$$\psi^i(t, \lambda, v_1, v_2) = \psi_*^i(t, \lambda, v_1, v_2);$$

porém os  $2^{os}$  membros são definidos inclusive para  $v_1 = v_2$  enquanto que os  $1^{os}$  membros só têm sentido para  $v_1 \neq v_2$ . Como existe o limite dos  $2^{os}$  membros quando  $v_1 \rightarrow v_2$  teremos

$$\frac{\partial}{\partial v} \varphi^i(t, \lambda, v) = \psi_*^i(t, \lambda, v, v),$$

isto é, as derivadas  $\frac{\partial}{\partial v} \varphi^i(t, \lambda, v)$  existem e são contínuas em todos os seus argumentos e satisfazem

$$\begin{aligned} & \frac{\partial}{\partial t} \left( \frac{\partial}{\partial v} \varphi^i(t, \lambda, v) \right) \\ &= \sum_{j=1}^n \tilde{h}_j^i(t, \lambda, v, v) \frac{\partial \varphi^j}{\partial v}(t, \lambda, v) + \tilde{h}_{n+1}^i(t, \lambda, v, v) \end{aligned}$$

que mostra que existem e são contínuas as derivadas

$$\frac{\partial}{\partial t} \left( \frac{\partial}{\partial v} \varphi^i(t, \lambda, v) \right).$$

Provaremos agora que também existem contínuas as derivadas

$$\frac{\partial}{\partial v} \left( \frac{\partial}{\partial t} \varphi^i(t, \lambda, v) \right).$$

Como  $\varphi(t, \lambda, v)$  é solução de (16) tem-se:

$$\frac{\partial}{\partial t}(\varphi^i(t, \lambda, \nu)) = f^i(t, \varphi^1(t, \lambda, \nu), \dots, \varphi^n(t, \lambda, \nu), \lambda, \nu).$$

Como os segundos membros são deriváveis em relação à  $\nu$ , já que as  $\varphi^i(t, \lambda, \nu)$  o são, temos a derivabilidade dos 1<sup>os</sup> membros,

$$\begin{aligned} & \frac{\partial}{\partial \nu} \left( \frac{\partial}{\partial t} \varphi^i(t, \lambda, \nu) \right) = \\ & = \sum_{j=1}^n f_j^i(t, \varphi(t, \lambda, \nu), \lambda, \nu) \cdot \frac{\partial}{\partial \nu} \varphi^j(t, \lambda, \nu) + e_\nu^i(t, \varphi(t, \lambda, \nu), \lambda, \nu) \end{aligned}$$

o que conclue a prova do teorema já que valem as equações (26) pois as derivadas mixtas são iguais. Derivando a condição  $\varphi(t_0, \mu) = x_0$  em relação a  $\mu^k$  temos imediatamente  $\frac{\partial \varphi^i}{\partial \mu^k}(t_0, \mu) = 0$ ,  $i=1, 2, \dots, n$ ,  $k=1, 2, \dots, \ell$ .

**COROLÁRIO 4** - Se as funções  $f^i(t, x^1, \dots, x^n, \mu^1, \dots, \mu^\ell)$  do sistema (16) admitirem contínuas tôdas as derivadas parciais até a ordem  $m$ , relativamente aos argumentos  $x^1, \dots, x^n, \mu^1, \dots, \mu^\ell$ , então a função solução  $\varphi(t, \mu)$  caracterizada por  $\varphi(t_0, \mu) = x_0$  admite contínuas tôdas as derivadas parciais relativamente aos parâmetros  $\mu^1, \dots, \mu^\ell$  até a ordem  $m$ , em todos os pontos do conjunto aberto  $E(t_0, x_0)$ .

Prova: Demonstraremos por indução sôbre  $m$  utilizando as equações (26) chamadas "equações variacionais" do sistema (16). Para  $m = 1$  o Teorema 7 garante a prova.

Supondo-se êste Corolário 4 válido para o número  $m-1$ , procuraremos provar sua validade para a ordem  $m$  das derivadas; a solução  $\varphi(t, \mu)$  admite contínuas tôdas as derivadas parciais até a ordem  $(m-1)$  no aberto  $E(t_0, x_0)$ . Então as funções  $\frac{\partial \varphi^i}{\partial \mu^k}(t, \mu)$  que são soluções do sistema (26) também têm derivadas parciais contínuas até a ordem  $m-1$  pela hipótese de indução, já que os segundos membros de (26) tem derivadas parciais até a ordem  $(m-1)$  inclusive, seja em relação às funções  $\frac{\partial \varphi^i}{\partial \mu^k}(t, \mu)$  nas quais são lineares seja relativamente aos parâmetros  $\mu^1, \dots, \mu^l$ .



§5 - TEOREMAS DE DEPENDÊNCIA CONTÍNUA E DIFERENCIÁVEL DAS  
SOLUÇÕES RELATIVAMENTE A CONDIÇÕES INICIAIS

Voltemos a considerar o sistema

$$\dot{x}^i = f^i(t, x^1, \dots, x^n, \mu^1, \dots, \mu^\ell), \quad i=1,2,\dots,n \quad (16)$$

em que as

$$f^i(t, x^1, \dots, x^n, \mu^1, \dots, \mu^\ell), \quad i=1,2,\dots,n \quad (17)$$

assim como suas derivadas parciais

$$f_{x^j}^i(t, x, \mu) = \frac{\partial f^i}{\partial x^j}(t, x, \mu), \quad i, j = 1, 2, \dots, n \quad (18)$$

são definidas e contínuas num aberto  $A$  de  $\mathbb{R}^{n+1+\ell}$ .

Vamos estudar a dependência das soluções da equação (16) relativamente às condições iniciais  $(t_0, x_0)$ . Para facilitar a notação chamaremos  $t_0$  de  $\tau$  e  $x_0$  de  $\xi$ . A solução  $x = \varphi(t, \mu, \tau, \xi)$  do sistema (16) que verifica as condições iniciais  $\xi = \varphi(\tau, \mu, \tau, \xi)$  depende das variáveis  $t, \mu, \tau$  e  $\xi$ .

Procederemos a um artifício de mudança de variáveis que nos levará à consideração de uma solução com condições iniciais fixadas e recairemos num caso especial ao qual é

aplicável o Teorema 7.

Seja  $(z, \xi, \mu)$  um ponto do aberto  $\tilde{A}$  de  $R^{n+1+l}$ .

$$\text{As equações lineares } \begin{cases} t = z + s \\ x = \xi + y \end{cases} \quad (28)$$

definem a aplicação  $\rho$  seguinte:

$$\rho: (s, y, \mu, z, \xi) \in R^{n+1} \times \tilde{A} \rightarrow (t = z + s, x = \xi + y, \mu) \in R^{n+1+l}.$$

Tal aplicação é diferenciável de classe  $C^\infty$ , e mesmo analítica, e como  $\tilde{A} \subseteq R^{n+1+l}$  é aberto, a imagem inversa  $A^* = \rho^{-1}(\tilde{A})$  é um conjunto aberto do espaço  $R^{n+1} \times \tilde{A}$ . Como a função  $f = (f^1, \dots, f^n)$  do sistema  $\dot{x} = f(t, x, \mu)$  é definida no aberto  $\tilde{A}$  de  $R^{n+1+l}$  e tem valores em  $R^n$ , a composta  $f \circ \rho = g$  é definida no conjunto aberto  $A^*$ , isto é,

$$g(s, y, \mu; z, \xi) = f(z + s; \xi + y, \mu) \quad (29)$$

para todo  $(s, y, \mu; z, \xi) \in A^*$  e tem valores em  $R^n$ .

Consideremos em  $A^*$  o sistema de equações diferenciais

$$\frac{dy}{ds} = g(s, y, \mu; z, \xi) = f(z + s; \xi + y, \mu) \quad (30)$$

A função  $g$  é contínua em  $A^*$  e possui em  $A^*$  derivadas parciais contínuas em relação às variáveis  $y^1, \dots, y^n$ ;  $\xi^1, \dots, \xi^n$ ;  $\mu^1, \dots, \mu^l$  podendo ao sistema (30) serem aplica

dos os resultados dos Teoremas 6 e 7.

Seja

$$y = \psi(s, \mu; \tau, \xi) \quad (31)$$

a solução do sistema (30) que satisfaz à condição inicial

$$\psi(0, \mu; \tau, \xi) = 0,$$

o que faz sentido pois  $\rho(0, 0, \mu; \tau, \xi) = (\tau, \xi, \mu) \in \tilde{A}$ , isto é, o ponto  $(0, 0, \mu; \tau, \xi)$  pertence à  $A^*$ . Tal solução (31) dá origem à função

$$x = \xi + y = \xi + \psi(s, \mu; \tau, \xi)$$

ou 
$$x = \xi + \psi(t - \tau, \mu; \tau, \xi) = \varphi(t, \mu; \tau, \xi).$$

Note-se que

$$\varphi(\tau, \mu; \tau, \xi) = \xi + \psi(0, \mu; \tau, \xi) = \xi \quad (32)$$

e além disso é fácil ver que  $\frac{d\varphi}{dt} = f(t, \varphi(t, \mu; \tau, \xi), \mu)$ , isto é,

$$x = \xi + \psi(t - \tau, \mu; \tau, \xi) = \varphi(t, \mu; \tau, \xi)$$

é a solução do sistema (16) que satisfaz a condição inicial (32).

Reciprocamente, toda solução  $x = \varphi(t, \mu; \tau, \xi)$  de (16) com condição inicial  $\varphi(\tau, \mu; \tau, \xi) = \xi$  provém de uma solução do sistema (30) com condição inicial  $(s, y) = (0, 0)$ , precisamente a solução

$$y = \varphi(t, \mu; \tau, \xi) - \xi = \varphi(\tau + s, \mu; \tau, \xi) - \xi.$$

De fato,

$$\varphi(\tau + 0, \mu; \tau, \xi) = \varphi(\tau, \mu; \tau, \xi) = \xi,$$

e

$$\begin{aligned} \frac{dy}{ds} &= \frac{d\varphi}{dt}(\tau + s, \mu; \tau, \xi) = f(\tau + s, \varphi(\tau + s, \mu; \tau, \xi), \mu) = \\ &= f(\tau + s, y + \xi, \mu) = g(s, y, \mu; \tau, \xi). \end{aligned}$$

Aplicando o Teorema 6 ao sistema (30) para as condições iniciais  $(0, 0)$  deduz-se o seguinte teorema:

TEOREMA 8 - Consideremos o sistema (16) verificando as

condições (17) e (18) e seja  $x = \varphi(t, \tau, \xi, \mu)$

a solução maximal do sistema (16) de condições iniciais

$(\tau, \xi)$ , isto é, que satisfaz  $\varphi(t, \tau, \xi, \mu) = \xi$ . Então a função

$\varphi(t, \tau, \xi, \mu)$  é definida e contínua num conjunto aberto

$S$  do espaço das variáveis  $(t, \tau, \xi, \mu)$ .

Finalmente o Teorema 7 aplicado ao sistema (30)

fornece:

TEOREMA 9 - Seja o sistema

$$\dot{x}^i = f^i(t, x^1, \dots, x^n), \quad i=1, 2, \dots, n \quad (2)'$$

em que as funções  $f^i$  e suas derivadas parciais  $\frac{\partial f^i}{\partial x^j}$  são contínuas num aberto  $A$  de  $R^{n+1}$ . Então a solução

$x = \varphi(t, \tau_0, \xi) = \tilde{\varphi}(t, \xi)$ , que satisfaz  $\varphi(\tau_0, \tau_0, \xi) = \tilde{\varphi}(\tau_0, \xi) = \xi$ , é contínua num conjunto aberto  $\tilde{S}$  de  $R^{n+1}$  e as de

derivadas parciais  $\frac{\partial \tilde{\varphi}^i(t, \xi)}{\partial \xi^j}$ ,  $i, j = 1, 2, \dots, n$ , existem contínuas em  $\tilde{S}$  assim como as derivadas mixtas  $\frac{\partial^2 \tilde{\varphi}^i(t, \xi)}{\partial t \partial \xi^j}$ , que, além disso, não dependem da ordem da derivação.

A aplicação do Corolário 4 ao sistema (2)' fornece:

**COROLÁRIO 5** - Seja  $\dot{x}^i = f^i(t, x^1, \dots, x^n)$ ,  $i=1, 2, \dots, n$ , um sistema de equações diferenciais ordinárias em que as funções  $f^i$  e suas derivadas parciais até a ordem  $m \geq 1$  relativas às variáveis  $x^1, \dots, x^n$  existem e são contínuas num aberto  $A$  de  $R^{n+1}$ . Então a solução  $x = \varphi(t, \tau_0, \xi) = \tilde{\varphi}(t, \xi)$ , que satisfaz a condição inicial  $\varphi(\tau_0, \tau_0, \xi) = \varphi(\tau_0, \xi) = \xi$ , é contínua num aberto  $\tilde{S}$  de  $R^{n+1}$  e suas derivadas parciais relativamente às variáveis  $\xi^1, \dots, \xi^n$  existem e são contínuas em  $\tilde{S}$ .



§6 - SISTEMAS AUTÔNOMOS E ESPAÇOS DE FASE. PONTOS CRÍTICOS  
E TRAJETÓRIAS FECHADAS. GRUPO LOCAL A UM PARÂMETRO.

Consideremos um sistema autônomo de equações diferenciais ordinárias

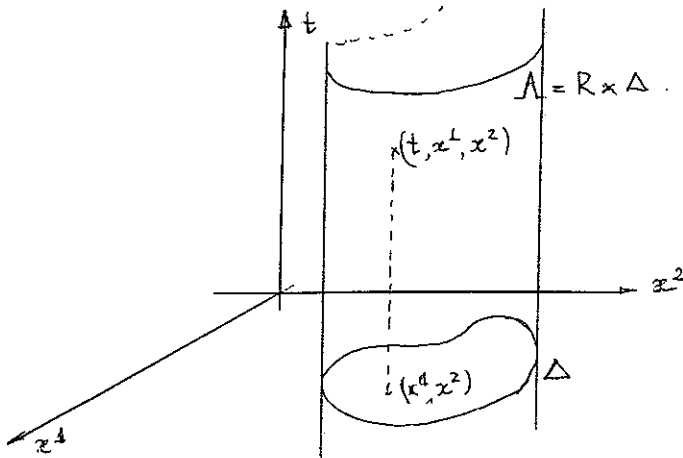
$$\dot{x}^i = f^i(x^1, \dots, x^n), \quad i=1, 2, \dots, n \quad (33)$$

que é do tipo (2)' quando a variável  $t$  não aparece explicitamente nos segundos membros das equações.

Suponhamos que as funções  $f^i(x^1, \dots, x^n)$  sejam de classe  $C^1$  num aberto  $\Delta$  de  $R^n$ , isto é, as  $f^i$  e suas derivadas parciais  $\frac{\partial f^i}{\partial x^j}$  existem e são contínuas em  $\Delta$ .

Claro está que ao sistema (33) são aplicáveis os teoremas de existência e unicidade de solução assim como os de dependência contínua e diferenciável das soluções com relação às condições iniciais.

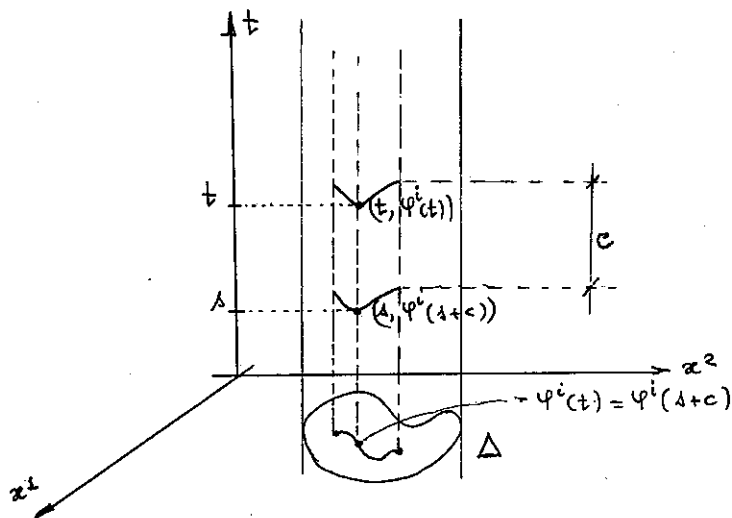
O conjunto aberto  $\Delta$  é comumente denominado o espaço de fase do sistema para diferir do conjunto aberto  $A = R \times \Delta$  contido em  $R^{n+1}$  onde variam as condições iniciais  $(t_0, x_0)$ , habitualmente conhecido como o espaço de movimentos.



Se  $x^i = \varphi^i(t)$  é uma solução do sistema (33) a curva  $(\varphi^1(t), \dots, \varphi^n(t))$  situa-se no espaço de fase  $\Delta$  quando  $t$  percorre o intervalo maximal da solução,  $m_1 < t < m_2$ .

A curva  $(t, \varphi^1(t), \dots, \varphi^n(t))$  situa-se no aberto  $R \times \Delta$  quando  $t$  varia e projeta-se sobre a curva  $(\varphi^1(t), \dots, \varphi^n(t))$  do espaço de fase.

Seja agora  $c$  um número real qualquer e a função de  $s$ ,  $y^i = \varphi^i(s+c)$ ,  $i=1, 2, \dots, n$ , definida no intervalo  $(m_1-c) < s < (m_2-c)$ . É fácil ver que  $\frac{dy^i}{ds} = \frac{d\varphi^i}{dt}(s+c) = f(\varphi^1(s+c), \dots, \varphi^n(s+c))$  o que prova que  $\varphi^i(s+c)$  é solução do sistema (33) e seu intervalo maximal é  $m_1-c < s < m_2-c$ .



Ambas as soluções têm a mesma imagem no aberto  $\Delta$  enquanto que no aberto  $R \times \Delta$  as imagens das duas soluções diferem por uma translação.

Reciprocamente, suponhamos dadas as soluções  $x^i = \varphi^i(t)$  de intervalo maximal  $m_1 < t < m_2$  e  $y^i = \psi^i(s)$  de intervalo maximal  $\bar{m}_1 < s < \bar{m}_2$  tais que  $\varphi^i(t_0) = \psi^i(s_0)$ ,  $i=1,2,\dots,n$ . Consideremos o número real  $c = t_0 - s_0$  e a solução  $y^i = \varphi^i(s+c)$  definida para  $m_1 - c < s < m_2 - c$ , como acima. Mas  $\varphi^i(s_0+c) = \varphi^i(t_0) = \psi^i(s_0)$ , isto é,  $\varphi^i(s+c)$  e  $\psi^i(s)$  coincidem para  $s = s_0$ ; pelo Teorema 1 elas coincidem onde ambas estão definidas, isto é,

$$\bar{m}_1 = m_1 - c \quad \text{e} \quad \bar{m}_2 = m_2 - c.$$

Em outras palavras, se as imagens no espaço de fase  $\Delta$ ,

de duas soluções maximais  $x^i = \varphi^i(t)$  e  $y^i = \psi^i(s)$ , interceptam-se para  $t = t_0$  e  $s = s_0$ , respectivamente, as soluções diferem uma da outra por uma translação, isto é,  $\psi^i(s) = \varphi^i(s+c)$  para todo  $s$  em  $\bar{m}_1 < s < \bar{m}_2$ . Pelo Teorema 1 podemos também garantir que, dadas as condições iniciais  $(t_0, x_0) \in R \times \Delta$ , existe uma única solução maximal  $x = \varphi(t)$  do sistema (33) tal que  $x_0 = \varphi(t_0)$ . Se em lugar de  $(t_0, x_0) \in R \times \Delta$ , escolhêssemos o par  $(0, x_0) \in R \times \Delta$ , obteríamos uma outra solução que, pelo que foi dito acima, terá que ser

$$y^i = \varphi^i(t-t_0).$$

As imagens de tôdas essas soluções do sistema (33) que passam pelo ponto  $x_0 \in \Delta$  definem um mesmo subconjunto de  $\Delta$ , denominado órbita do sistema autônomo (33) que passa pelo ponto  $x_0 \in \Delta$ . A trajetória por  $x_0$  é a solução do sistema que para  $t = 0$  passa por  $x_0$ ; é uma curva parametrizada.

Consideremos no conjunto aberto  $\Delta$  de  $R^n$  o campo de vetores definido do seguinte modo: ao ponto  $x_0 \in \Delta$  associamos o vetor  $f(x_0)$  de componentes  $f(x_0) =$

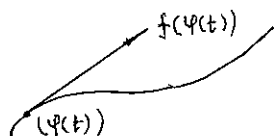


$$(f^1(x_0^1, \dots, x_0^n), \dots, f^n(x_0^1, \dots, x_0^n))$$

$$\text{onde } x_0 = (x_0^1, \dots, x_0^n).$$

As curvas integrais dêsse campo de vetores são as curvas

$x = (\varphi^1(t), \dots, \varphi^n(t))$  soluções do sistema de equações (33) pois o vetor tangente à curva  $(\varphi^1(t), \dots, \varphi^n(t))$  é



$$\dot{x} = (\dot{\varphi}^1(t), \dots, \dot{\varphi}^n(t))$$

e como  $\dot{\varphi}^i(t) = f^i(\varphi^1(t), \dots, \varphi^n(t))$

tem-se  $\dot{x} = (\dot{\varphi}^1(t), \dots, \dot{\varphi}^n(t)) = f(\varphi^1(t), \dots, \varphi^n(t))$ .

**OBSERVAÇÃO:** Pelo Corolário 2 do §3, se existir um compacto  $K$  contido em  $\Delta$  com a propriedade de que uma determinada solução do sistema (33) tem necessariamente imagem contida em  $K$ , o intervalo maximal de tal solução é  $-\infty < t < +\infty$ .

**EXEMPLO 8** - Consideremos o sistema autônomo definido em  $\mathbb{R}^4$  pelas equações:

$$\begin{cases} \dot{x} = z \\ \dot{y} = u \\ \dot{z} = -x \\ \dot{u} = -y \end{cases} \quad (34)$$

em que  $(x, y, z, u)$  indica um ponto genérico de  $\mathbb{R}^4$ . Como

$$x\dot{x} + y\dot{y} + z\dot{z} + u\dot{u} = xz + yu - xz - yu = 0$$

teremos

$$\frac{1}{2} \frac{d}{dt} (x^2 + y^2 + z^2 + u^2) = 0,$$

isto é, dada uma solução  $(x=x(t), y=y(t), z=z(t), u=u(t))$  do sistema (34) ela será tal que

$$(x(t))^2 + (y(t))^2 + (z(t))^2 + (u(t))^2 = \text{constante} = a^2;$$

tal solução situa-se portanto numa esfera de raio  $a \geq 0$  contida em  $R^4$ . Pela observação anterior pode-se concluir que toda solução de tal sistema tem como intervalo maximal  $-\infty < t < +\infty$ .

Como as soluções do sistema (34) estão contidas em esferas, fixado  $a > 0$ , a esfera de raio  $a$  contida em  $R^4$  goza da propriedade que o campo de vetores definido pelo sistema autônomo (34) é, nos pontos da esfera, tangente à ela. Assim, se  $(x, y, z, u)$  é tal que  $x^2 + y^2 + z^2 + u^2 = a^2$ , o vetor definido por

$$f(x, y, z, u) = (z, u, -x, -y)$$

é tangente no ponto  $(x, y, z, u)$  à esfera de equação

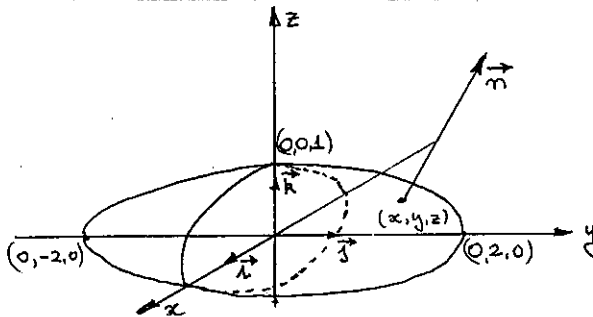
$$x^2 + y^2 + z^2 + u^2 = a^2. \quad \int_n^q u^t \cdot (z, u, -x, -y) \cdot (x, y, z, u) = xz + yu - x^2 - y^2 = 0$$

EXEMPLO 9 - Consideremos no  $R^3$  o elipsóide de equação

$$x^2 + \frac{y^2}{4} + z^2 = 1. \quad (35)$$

Em cada ponto  $(x, y, z)$  desse elipsóide, o vetor normal se escreve

$$\vec{n} = 2x \cdot \vec{i} + \frac{y}{2} \cdot \vec{j} + 2z \cdot \vec{k}.$$



Consideremos o campo de vetores tangentes sôbre o elipsóide que ao ponto  $(x,y,z)$  do elipsóide faz corresponder o vetor  $\vec{v} = -z^2 \vec{i} + xzk \vec{k}$ .

Tal campo de vetores é de fato tangente ao elipsóide pois o produto escalar  $\vec{v} \cdot \vec{n}$  é nulo.

Poderíamos tentar determinar as curvas integrais de tal campo de vetores  $\vec{v}$ , isto é, as curvas  $(x(t), y(t), z(t))$  tais que  $\dot{x}(t) = -z^2$ ,  $\dot{y}(t) = 0$  e  $\dot{z}(t) = xz$ . Se considerarmos um parâmetro  $e$  com  $|e| < 1$ , é fácil ver que a família de elipsóides definida por  $x^2 + \frac{y^2}{4} + z^2 = 1+e$ , com  $e$  variando no intervalo  $-1 < e < +1$ , define uma vizinhança  $\Delta(e)$ , aberta, do elipsóide de (35), contida no espaço  $R^3$ . Em  $\Delta(e)$  tem sentido ~~con-~~siderar o sistema autônomo

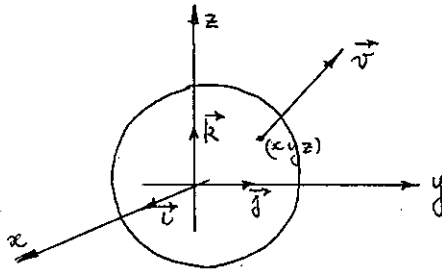
$$\begin{cases} \dot{x} = -z^2 \\ \dot{y} = 0 \\ \dot{z} = xz \end{cases} \quad (36)$$

Como o elipsóide (35) é um compacto contido em  $\Delta(e)$ , o

campo de vetores  $\vec{v}$  definido nele é tal que toda curva integral pode ser necessariamente definida no intervalo maximal  $-\infty < t < +\infty$ . Aliás, como toda a solução de (36) está contida em algum elipsóide da família considerada, todas as soluções de (36) admitem a reta como intervalo maximal de definição.

EXEMPLO 10 - Seja  $S^2$  a esfera de equação  $x^2 + y^2 + z^2 = R^2$  e  $\vec{v}$  um campo de vetores tangentes.

Suponhamos que  $\vec{v} = f_1(x,y,z)\vec{i} + f_2(x,y,z)\vec{j} + f_3(x,y,z)\vec{k}$



seja tal que  $f_1, f_2, f_3$  são três funções de classe  $C^1$ . Por um argumento análogo ao usado no exemplo anterior conclue-se que toda curva integral do campo de vetores  $\vec{v}$  pode ser extendida a toda a reta.

EXEMPLO 11 - Seja  $M$  uma variedade compacta de classe  $C^r$ ,  $r \geq 2$ , e  $X$  um campo de vetores de classe  $C^1$  (ver [2]). Pode-se demonstrar que toda curva integral de  $X$  tem a reta como intervalo maximal de definição.

EXEMPLO 12 - Seja  $\dot{x}^i = f^i(x^1, \dots, x^n)$ ,  $i=1, 2, \dots, n$ , (33)

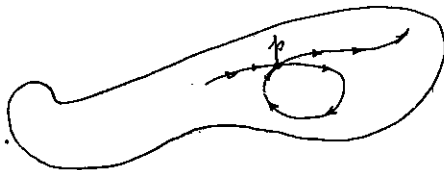
o sistema já considerado no início deste §6, de classe  $C^1$  no aberto  $\Delta$  de  $R^n$ . Suponhamos que (33) admita uma variedade invariante  $M$  (ver [2],[3]) isto é, em todo ponto  $x \in M$  o vetor

$$f(x) = (f^1(x^1, \dots, x^n), \dots, f^n(x^1, \dots, x^n))$$

é tangente à  $M$ . Neste caso as trajetórias de (33) que têm algum ponto em  $M$ , estão necessariamente contidas em  $M$ . Em particular se  $M$  é compacta, cada curva integral em  $M$  admite a reta como intervalo maximal de definição.

#### Pontos críticos e trajetórias fechadas

Seja  $x = \varphi(t)$  uma solução do sistema (33) definida no intervalo maximal  $m_1 < t < m_2$ . Se  $\varphi(t)$  fôr uma aplicação injetora sua imagem no espaço de fase  $\Delta$  determina uma órbita homeomorfa à reta pois a própria função  $\varphi(t)$  determina um homeomorfismo entre a órbita e o intervalo aberto  $m_1 < t < m_2$ . Se  $x = \varphi(t)$  não é injetora existem  $t_0$  e  $t_0 + \tau$ , ambos no intervalo  $m_1 < t < m_2$  tais que  $\tau \neq 0$  e  $\varphi(t_0) = \varphi(t_0 + \tau) = p$ ,  $p \in \Delta$ .



$$\begin{aligned} p &= \varphi(t_0) = \\ &= \varphi(t_0 + \tau) \end{aligned}$$

Chama-se período de uma solução maximal, não injetora,  $\varphi(t)$ , todo número real  $\tau$  para o qual existe  $t_0$ ,  $m_1 < t_0 < m_2$  e  $\varphi(t_0) = \varphi(t_0 + \tau)$ .

PROPOSIÇÃO 5 - Se  $\tau \neq 0$  é período de  $\varphi(t)$  então  $m_1 = -\infty$ ,  $m_2 = +\infty$  e  $\varphi(t) = \varphi(t + \tau)$  para todo  $t$  real.

Prova: Observe-se inicialmente que  $\dot{\varphi}(t_0) = f(\varphi(t_0)) = \dot{\varphi}(t_0 + \tau)$ . Agora é imediato estender a solução à toda a reta.

PROPOSIÇÃO 6 - O conjunto  $P$  dos períodos de uma solução maximal não injetora é um subgrupo fechado do conjunto dos números reais  $\mathbb{R}$ . Portanto ou  $P = \mathbb{R}$  ou existe  $T > 0$  e  $P = \{nT \mid n \in \mathbb{Z}\}$ ,  $\mathbb{Z}$  sendo o conjunto dos números inteiros relativos.

Prova: Se  $T_1$  e  $T_2$  são períodos de  $\varphi(t)$  tem-se  $\varphi(t + (T_1 + T_2)) = \varphi((t + T_1) + T_2) = \varphi(t + T_1) = \varphi(t)$ , isto é,  $(T_1 + T_2)$  é também período de  $\varphi(t)$ .  $P$  é portanto um subgrupo aditivo do conjunto  $\mathbb{R}$  dos números reais e  $P \neq \{0\}$ . Se  $(T_\nu)$ ,  $\nu \in \mathbb{N}$ , é uma seqüência de períodos que converge para um número real  $T_0$  tem-se  $\varphi(t + T_\nu) = \varphi(t)$  para todo  $t$  real e  $\nu \in \mathbb{N}$ . Como  $\varphi(t)$  é contínua vem  $\varphi(t) = \lim_{\nu \rightarrow +\infty} \varphi(t + T_\nu) = \varphi(t + \lim T_\nu) = \varphi(t + T_0)$ , isto é, o conjunto  $P$  dos períodos é fechado em  $\mathbb{R}$ .

Suponhamos que o zero real seja ponto de acumulação de pe ríodos; então pela Proposição 6 todo número real  $c$  será ponto de acumulação de períodos; como  $P$  é fechado teremos neste caso  $P = R$ . Se, ao contrário, zero não é ponto de acumulação de períodos existe um mínimo período positivo  $T$ ; agora é imediato que  $P = \{n.T | n \in Z\}$ .

COROLÁRIO 6 - Se  $\varphi(t)$  é uma solução maximal não injetora então ou  $\varphi(t) = a$  para todo  $t$  real ou  $\varphi(t)$  é uma solução periódica de período mínimo  $T > 0$ .

Prova: Se  $P = R$  tem-se

$$\frac{\varphi(t+h) - \varphi(t)}{h} = \frac{\varphi(t) - \varphi(t)}{h} = 0,$$

isto é,  $\dot{\varphi}(t) = 0$  para todo  $t$  real donde  $\varphi(t) \equiv a$ .

Se, ao contrário,  $P = \{n.T | n \in Z\}$ ,  $\varphi(t) = \varphi(t+T)$  para todo  $t$  real e a imagem da trajetória de  $\varphi(t)$  é homeomorfa ao círculo.

OBSERVAÇÕES:

1) Se  $P = R$  a trajetória de  $\varphi(t)$  reduz-se a um ponto  $a \equiv \varphi(t)$  e como  $\dot{\varphi}(t) = 0$  vem que  $\dot{\varphi}(t) = f(\varphi(t)) = f(a) = 0$ . O ponto  $a$  chama-se ponto de equilíbrio do sistema ou ponto crítico do campo de vetores definido no espaço de fase  $\Delta$ , isto é, um ponto onde o campo se anula.



2) Se  $P = \{nT | n \in \mathbb{Z}\}$ , a trajetória é um conjunto compacto homeomorfo ao círculo e  $f(x)$  não se anula em nenhum ponto da trajetória porque se  $f(x_0) = 0$  a função constante  $\varphi(t) = x_0$  seria solução e a imagem de sua trajetória não seria homeomorfa ao círculo.

Grupo local a um parâmetro. Fluxos.

Consideremos o sistema de equações diferenciais ordinárias de classe  $C^m$ , definido no espaço de fase

$\Delta \subset \mathbb{R}^n: \dot{x} = f(x^1, \dots, x^n) = f(x)$ ,  $m \geq 1$ . Pelo Corolário 5, fixada a condição inicial  $x_0 = 0$ , a solução  $x = \tilde{\varphi}(t, \xi)$  que satisfaz a condição  $\tilde{\varphi}(0, \xi) = \xi$  é contínua num aberto  $\tilde{S}$  de  $\mathbb{R}^{n+1}$  e suas derivadas parciais relativas às variáveis  $\xi^1, \dots, \xi^n$  existem e são contínuas em  $\tilde{S}$ .

Fica deste modo definida a função

$$\tilde{\varphi}: \tilde{S} \subset \mathbb{R}^{n+1} \rightarrow \Delta$$

já que para todo  $(t, \xi) \in \tilde{S}$ ,  $\tilde{\varphi}(t, \xi) \in \Delta$ .

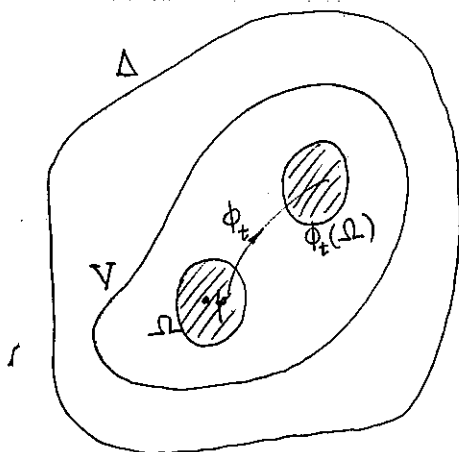
Convém notar que a projeção  $\pi: (t, \xi) \in \tilde{S} \rightarrow \xi \in \mathbb{R}^n$  assume valores em  $\Delta$ , isto é,  $\pi(t, \xi) = \xi \in \Delta$ . Ainda mais  $\pi(\tilde{S}) = \Delta$ ,

isto é,  $\pi$  é sôbre  $\Delta$ . Conclue-se daí que

$$\tilde{S} \subset R \times \Delta \quad \text{e} \quad \tilde{S} \supset \{0\} \times \Delta .$$

Para cada  $p \in \Delta$ , como  $(0,p) \in \tilde{S}$ , existe uma vizinhança produto  $(-\bar{\epsilon}, \bar{\epsilon}) \times V$  contida em  $\tilde{S}$  em que  $\bar{\epsilon} > 0$  e  $V$  é vizinhança de  $p$  em  $\Delta$ . A vizinhança  $V$  goza da propriedade de que tôda solução da equação  $\dot{x} = f(x)$  que passa pelo ponto  $q \in V$  no instante  $t = 0$  está definida para  $|t| < \bar{\epsilon}$ . Consideremos a restrição de  $\tilde{\varphi}$  à vizinhança aberta  $(-\bar{\epsilon}, +\bar{\epsilon}) \times V$ ; como  $\tilde{\varphi}(0,p) = p$ , pela continuidade de  $\tilde{\varphi}$ , dada  $V$ , existem  $\epsilon > 0$  e  $\Omega$  vizinhança de  $p$  tais que

$$\tilde{\varphi}(t,q) \in V \quad \text{para todo} \quad (t,q) \in (-\epsilon, +\epsilon) \times \Omega .$$

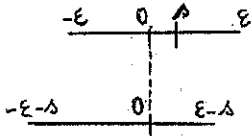


Seja  $\phi_t: V \rightarrow \Delta$ ,  $|t| < \bar{\epsilon}$  definida por  $\phi_t(\xi) = \tilde{\varphi}(t, \xi)$ ;

trata-se de uma função de classe  $C^m$ ; sua restrição à  $\Omega$  será ainda denotada por  $\phi_t$ ; isto é,  $\phi_t: \Omega \rightarrow V$ , também definida por  $\phi_t(q) = \tilde{\varphi}(t, q)$  para todo  $(t, q) \in (-e, +e) \times \Omega$ . Sempre que  $|t| < e$  teremos  $\phi_t(\Omega) \subset V$ .

PROPOSIÇÃO 7 - Para todo  $q \in \Omega$ ,  $|s| < e$ ,  $|t| < e$  e  $|s+t| < e$  tem-se  $\phi_s(\phi_t(q)) = \phi_{s+t}(q)$ . Além disso cada  $\phi_t$ ,  $|t| < e$ , é um difeomorfismo de classe  $C^m$ ,  $m \geq 1$ , de  $\Omega$  sobre sua imagem.

Prova: Seja  $q \in \Omega$  e  $|s| < e$ ; considere-se a curva



$$\lambda(t) = \tilde{\varphi}(s+t, q), \quad |s, t, s+t| < e.$$

Fixado  $s$ ,  $|s| < e$ , como  $-e < s+t < e$  temos  $-e-s < t < e-s$ . Então como  $|t| < e$

teremos:

$$\text{se } s > 0 : \quad -e < t < e-s ;$$

$$\text{se } s < 0 : \quad -e-s < t < e ;$$

$$\text{se } s = 0 \quad | \quad -e < t < e.$$

Note-se que  $\lambda(0) = \tilde{\varphi}(s, q) = \phi_s(q)$  e

$$\lambda'(t) = \dot{\tilde{\varphi}}(s+t, q) = f(\tilde{\varphi}(s+t, q)) = f(\lambda(t))$$

logo  $\lambda(t)$  é a solução do sistema que para  $t = 0$  passa por  $\phi_s(q)$ ; como  $\phi_s(q) \in V$  tal solução está definida no intervalo  $(-e, +e)$ . Porém pela definição de  $\phi_t$ ,  $\lambda(t)$  coincide com  $\phi_t(\phi_s(q))$  donde  $\phi_{s+t}(q) = \phi_t \cdot \phi_s(q)$  para

todo  $q \in \Omega$ .

Finalmente, como  $\phi_t(\Omega) \subset V$  tem sentido falar na inversa de  $\phi_t/\Omega$  que será  $\phi_{-t}/\phi_t(\Omega)$ . Então cada  $\phi_t$ ,  $|t| < \epsilon$ , é um difeomorfismo local. Note-se que  $\phi_0 = \text{id}_V$ .

A família  $\phi_t: \Omega \rightarrow V$  parametrizada por  $|t| < \epsilon$  chama-se grupo local a um parâmetro gerado por  $\dot{x} = f(x)$  ou também fluxo local de  $\dot{x} = f(x)$  nas vizinhanças de  $p \in \Delta$ .

OBSERVAÇÃO: Há casos em que o aberto  $\tilde{S}$  é precisamente  $R \times \Delta$ . É o caso em que tôdas as soluções são de finidas de  $-\infty$  à  $+\infty$ ; segue que os elementos  $\phi_t$  da família constituem um grupo de difeomorfismos globais de  $\Delta$ ,  $t$  percorrendo a reta real. Aqui tem-se efetivamente um grupo a um parâmetro de difeomorfismos globais de  $\Delta$ , de classe  $C^m$ .

No exemplo 12 dêste §6, considerou-se o caso de uma variedade  $M$  invariante; claro está que os grupos locais  $\phi_t$  são tais que os difeomorfismos  $\phi_t$  induzem, por restrição, difeomorfismos locais em  $M$  com propriedades análogas às exibidas na proposição anterior. Finalmente se  $M$  é uma variedade compacta fica definido em  $M$  um grupo a um parâmetro de difeomorfismos globais de  $M$ .



§7 - SISTEMAS LINEARES HOMOGÊNEOS DE COEFICIENTES  
CONSTANTES

Seja  $A$  uma matriz quadrada de ordem  $n$ , de números complexos,  $A = (a_{ij})$ . Chama-se norma de  $A$  ao número real  $\|A\| = \sum_{i,j=1}^n |a_{ij}|$ . As seguintes propriedades são de demonstração imediata:

a)  $\|A+B\| \leq \|A\| + \|B\|$

b)  $\|A \cdot B\| \leq \|A\| \cdot \|B\|$

O polinômio característico de  $A$  é  $p(\lambda) = \det(A-\lambda I)$  em que  $I$  é a matriz identidade de ordem  $n$  e  $\det(A-\lambda I)$  indica o determinante da matriz  $(A-\lambda I)$ . Duas matrizes  $A$  e  $B$  dizem-se semelhantes se existe uma matriz não singular  $M$  tal que  $B = M^{-1} A M$ . Se  $A$  e  $B$  são semelhantes elas têm o mesmo polinômio característico já que

$$\begin{aligned} \det(A-\lambda I) &= \det[M^{-1}(A-\lambda I)M] = \\ &= \det[(M^{-1}A - M^{-1}\lambda I)M] = \det[M^{-1}AM - \lambda I] = \det(B-\lambda I). \end{aligned}$$

Seja  $(A_\nu)$  uma seqüência de matrizes; diz-se que  $(A_\nu)$  é convergente se dado  $\epsilon > 0$ , existe  $N(\epsilon)$  tal que para todo  $p, q > N(\epsilon)$  tem-se  $\|A_p - A_q\| < \epsilon$ . Diz-se que  $(A_\nu)$  tende para um limite  $A$  se dado  $\epsilon > 0$  existe

$$N(\epsilon) \in \mathbb{N}$$

$N(\epsilon)$  tal que  $v > N(\epsilon)$  acarreta  $\|A_v - A\| < \epsilon$ . É fácil ver que  $(A_v)$  é convergente se, e somente se, cada componente define uma seqüência convergente e, portanto, se, e somente se, existe um limite para o qual ela tende.

Uma série  $\sum_{v=1}^{\infty} A_v$  é convergente se a seqüência das somas parciais for convergente. O limite da seqüência das somas parciais chama-se soma da série infinita considerada.

Exponencial de uma matriz A - Consideremos a série infinita

$$e^A = I + A + \frac{A^2}{2!} + \frac{A^3}{3!} + \dots$$

em que  $A^m$  indica  $A \dots A$  (m fatores iguais à A).

Dados p e q inteiros positivos temos:

$$\left\| \sum_{m=p+1}^{p+q} \frac{A^m}{m!} \right\| \leq \sum_{m=p+1}^{p+q} \left\| \frac{A^m}{m!} \right\|.$$

O segundo membro torna-se tão pequeno quanto se queira pois a série  $e^{\|A\|}$  é convergente. A série infinita  $e^A$  é pois convergente e denomina-se exponencial da matriz A.

Consideremos agora o sistema de equações diferenciais ordinárias definido em  $R^n$  pela equação matricial

$$\begin{bmatrix} \dot{x}^1 \\ \vdots \\ \dot{x}^n \end{bmatrix} = A \begin{bmatrix} x^1 \\ \vdots \\ x^n \end{bmatrix} \quad \text{ou simbòlicamente } \dot{x} = Ax.$$

Já vimos no Exemplo 8 que as soluções de tal sistema admitem a reta como intervalo maximal. Consideremos as condições iniciais  $(t_0, x_0)$  e seja a função

$$x = x(t) = e^{(t-t_0)A} \cdot x_0, \text{ em que } x_0 \text{ é a matriz coluna}$$

$$x_0 = \begin{bmatrix} x_0^1 \\ \vdots \\ x_0^n \end{bmatrix}.$$

Fica claro que  $x(t_0) = e^0 \cdot x_0 = I \cdot x_0 = x_0$ . Se derivarmos  $e^{(t-t_0)A}$  com relação à  $t$  obteremos  $A \cdot e^{(t-t_0)A}$ .

De fato pela definição de derivada de matriz de funções teremos

$$\begin{aligned} \frac{e^{(t+\Delta t-t_0)A} - e^{(t-t_0)A}}{\Delta t} &= \frac{e^{(t-t_0)A} \cdot e^{\Delta t \cdot A} - e^{(t-t_0)A}}{\Delta t} \\ &= e^{(t-t_0)A} \left[ \frac{e^{\Delta t \cdot A} - I}{\Delta t} \right] = e^{(t-t_0)A} \left[ \frac{1}{\Delta t} (\Delta t \cdot A + \frac{(\Delta t A)^2}{2!} + \dots) \right] \end{aligned}$$

e no limite quando  $\Delta t \rightarrow 0$  tem-se

$$\frac{d}{dt} e^{(t-t_0)A} = A \cdot e^{(t-t_0)A}.$$

Portanto, derivando-se  $x(t)$  tem-se

$$\dot{x}(t) = A e^{(t-t_0)A} \cdot x_0 = A x(t).$$

Portanto  $x = e^{(t-t_0)A} \cdot x_0$  é a solução do sistema linear homogêneo  $\dot{x} = Ax$  que para  $t = t_0$  passa por  $x = x_0$ .

É comum proceder-se a uma mudança de variáveis  $x = My$ ,  $M$  não singular, donde:

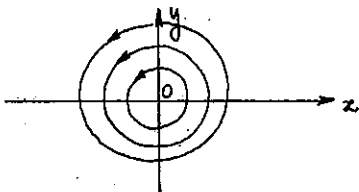
$$\dot{x} = Ax = AMy = M\dot{y} \quad \text{ou} \quad \dot{y} = (M^{-1}AM)y$$

e se indicarmos por  $B$  a matriz  $M^{-1}AM$  semelhante à  $A$  chega-se à  $\dot{y} = B.y$ . Se  $M$  fôr tal que  $B = M^{-1}AM$  seja relativamente "simples", obtém-se um sistema  $\dot{y} = By$  em geral mais fácil de ser integrado do que o inicial  $\dot{x} = Ax$ . Claro está que as soluções de  $\dot{x} = Ax$  e  $\dot{y} = By = (M^{-1}AM)y$  estão relacionadas através da mudança  $x(t) = M.y(t)$ . Um processo usual de obter-se, a partir de  $A$ , uma expressão "simples" para uma matriz semelhante  $B$ , é reduzir-se a matriz  $A$  à sua forma canônica de Jordan (ver Proposição 9).

EXEMPLO 13 - Consideremos o sistema autônomo:

$$\begin{cases} \dot{x} = -y \\ \dot{y} = x \end{cases} \quad (37)$$

Tôda solução dêsse sistema verifica a condição  $x\dot{x} + y\dot{y} = 0$  donde  $x^2 + y^2 = a^2$ ,  $a \geq 0$ . As trajetórias distintas da origem são círculos de centro na origem.



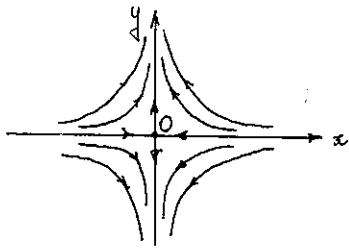
O polinômio característico fornece as raízes  $\lambda_1 = i$  e  $\lambda_2 = -i$ ; de fato

$\det \begin{bmatrix} -\lambda & -1 \\ 1 & -\lambda \end{bmatrix} = 0 \Rightarrow \lambda^2 + 1 = 0$ . A origem é um ponto crítico do sistema, chamado centro.

EXEMPLO 14 - Seja o sistema autônomo:

$$\begin{cases} \dot{x} = -x \\ \dot{y} = y \end{cases} \quad (38)$$

A condição  $x\dot{y} + y\dot{x} = 0$  ou  $xy = k$  está verificada para toda solução de (38). Um cálculo simples mostra que a solução que passa pelo ponto  $(x_0, y_0)$  quando  $t = 0$  é dada por



$$\begin{cases} x = x_0 e^{-t} \\ y = y_0 e^t \end{cases}$$

O polinômio característico  $\det \begin{bmatrix} -1-\lambda & 0 \\ 0 & 1-\lambda \end{bmatrix}$  fornece as raízes  $\lambda_1 = 1$  e  $\lambda_2 = -1$ .

EXEMPLO 15 - Estudemos o sistema autônomo:

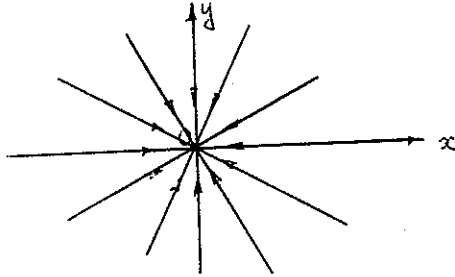
$$\begin{cases} \dot{x} = -x \\ \dot{y} = -y \end{cases} \quad (39)$$

que integrado fornece:

$$\begin{cases} x = x_0 e^{-t} \\ y = y_0 e^{-t} \end{cases}$$

Essas expressões fornecem a solução que passa por  $(x_0, y_0)$

quando  $t = 0$ .



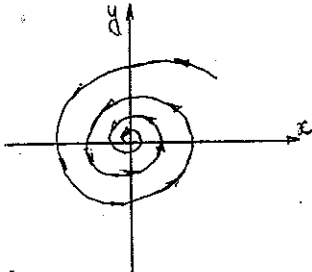
Como  $xy_0 - yx_0 = 0$  conclue-se que as trajetórias estão contidas em retas pela origem. As raízes características são dadas por  $\det \begin{bmatrix} -1-\lambda & 0 \\ 0 & -1-\lambda \end{bmatrix} = 0$  que fornece  $\lambda_1 = -1$  e  $\lambda_2 = -1$ .

EXEMPLO 16 - O sistema autônomo

$$\begin{cases} \dot{x} = -y \\ \dot{y} = x-y \end{cases} \quad (40)$$

fornece as raízes características  $\lambda_1 = \frac{-1+\sqrt{3}i}{2}$  e  $\lambda_2 = \frac{-1-\sqrt{3}i}{2}$  pois  $\det \begin{bmatrix} -\lambda & 1 \\ 1 & -1-\lambda \end{bmatrix} = 0$  implica  $\lambda^2 + \lambda + 1 = 0$ .

A origem é um ponto crítico; excluído êsse ponto e tomadas coordenadas polares  $(\rho, \theta)$  teremos  $\dot{\rho} = -\rho \sin^2 \theta$ , o que mostra que  $\dot{\rho}$  é sempre negativo, ou seja, a fun-

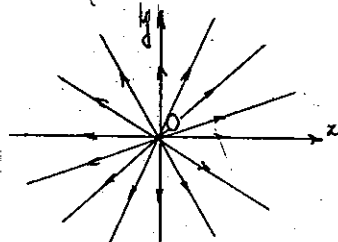


ção  $\rho$  decresce com o tempo.

As trajetórias tendem à origem quando  $t$  tende a infinito.

EXEMPLO 17 - Consideremos o sistema autônomo dado por

$$\begin{cases} \dot{x} = x \\ \dot{y} = y \end{cases} \quad (41)$$



A solução que para  $t = 0$  passa pelo ponto  $(x_0, y_0)$  é dada por

$$\begin{cases} x = x_0 e^t \\ y = y_0 e^t \end{cases}$$

e as trajetórias estão contidas em retas. As raízes características são  $\lambda_1 = \lambda_2 = 1$ . Nos Exemplos 15 e 16 toda trajetória tende para a origem quando  $t$  tende para  $+\infty$ . As raízes características têm, nos dois casos, parte real negativa. A origem em ambos os casos denomina-se um poço.

No Exemplo 17 as trajetórias tendem para a origem quando  $t$  tende à  $-\infty$ . As raízes características têm parte real positiva. A origem neste caso denomina-se uma fonte.

No Exemplo 14 existem duas direções (as dos dois eixos) privilegiadas, numa das quais (eixo dos  $x$ ) todos os pontos "tendem" para a origem quando  $t$  tende a  $+\infty$  enquanto que na outra (eixo dos  $y$ ) os pontos "tendem" para a

origem quando  $t$  tende a  $-\infty$ . Se um ponto não pertence a nenhum dos eixos a trajetória por ele definida está contida num ramo de hipérbole. Uma raiz tem parte real positiva enquanto que a outra tem parte real negativa. A origem nesse caso chama-se um ponto de sela.

PROPOSIÇÃO 8 - Se  $\lambda$  é raiz característica de  $A$ ,  $e^\lambda$  é raiz característica de  $e^A$ .

Prova: Sendo  $\lambda$  raiz característica de  $A$  tem-se

$\det(A - \lambda I) = 0$  e portanto isto equivale à existência de um vetor  $c_0 \neq 0$ , de  $n$  componentes complexas, tal que  $(A - \lambda I)c_0 = 0$  ou  $Ac_0 = \lambda c_0$ .

Mostremos agora que  $e^A c_0 = e^\lambda \cdot c_0$ ; de fato,  
$$e^A c_0 = (I + A + \frac{A^2}{2!} + \dots)c_0 = (c_0 + Ac_0 + \frac{A^2}{2!} c_0 + \dots) =$$
$$= (c_0 + \lambda c_0 + \frac{1}{2!} \lambda^2 c_0 + \dots) = (1 + \lambda + \frac{\lambda^2}{2!} + \dots)c_0 = e^\lambda \cdot c_0$$
o que completa a prova.

Segue dessa proposição que, se  $\lambda$  é raiz característica de  $A$ ,  $t\lambda$  é raiz característica de  $tA$  e  $e^{t\lambda}$  é raiz característica de  $e^{tA}$ .

COROLÁRIO 7 - A exponencial de qualquer matriz é não singular.

TEOREMA 10 (Forma canônica real de Jordan) - Dado uma matriz real  $A$  existe uma matriz  $B = M^{-1}AM$ ,

semelhante à  $A$  tal que  $B$  é uma matriz diagonal de blocos  $B = \text{dia}(B_1, \dots, B_k)$  onde

$$B_j = \begin{bmatrix} \lambda_j & 0 & \dots & 0 \\ e & \lambda_j & \dots & 0 \\ 0 & e & \lambda_j & \dots & 0 \\ \vdots & & & & \\ 0 & 0 & 0 & \dots & e & \lambda_j \end{bmatrix} \quad \text{ou} \quad B_j = \begin{bmatrix} S_j & 0 & \dots & 0 \\ eI & S_j & \dots & 0 \\ \vdots & & & \\ \vdots & & & \\ 0 & 0 & \dots & eI & S_j \end{bmatrix}$$

onde  $I = \begin{bmatrix} 1 & 0 \\ 0 & 1 \end{bmatrix}$  e  $S_j = \begin{bmatrix} \alpha_j & \beta_j \\ -\beta_j & \alpha_j \end{bmatrix}$  e real arbitrário não nulo

e  $\lambda_j$  ou  $(\alpha_j + i\beta_j)$  são os valores característicos de  $A$  reais ou complexos, respectivamente. Se  $\lambda_j$  (real) ou  $(\alpha_j + i\beta_j)$  for raiz simples teremos  $B_j = (\lambda_j)$  ou  $B_j = S_j$ , respectivamente.

Não daremos, neste curso, a prova dessa Proposição 9.

Suponhamos agora que se separe o conjunto  $\sigma(A)$  dos valores característicos de  $A$  (espectro de  $A$ ) em duas partes  $\sigma_1(A)$  e  $\sigma_2(A)$  não vazias de modo que  $\sigma_1(A) \cup \sigma_2(A) = \sigma(A)$  e  $\sigma_1(A) \cap \sigma_2(A) = \emptyset$ .

Suponhamos também que se um elemento pertence à  $\sigma_i(A)$ , seu complexo conjugado também pertence à  $\sigma_i(A)$ ,  $i=1,2$ .

Feita essa partição, a ela corresponde uma parti-

ção na forma canônica de Jordan B do seguinte modo:

$$B = \begin{bmatrix} B_1 & 0 \\ 0 & B_2 \end{bmatrix}$$

em que  $\sigma_1(A) = \sigma(B_1)$  e  $\sigma_2(A) = \sigma(B_2)$ .

$$\text{Sejam } U_1(t) = \begin{bmatrix} e^{tB_1} & 0 \\ 0 & 0 \end{bmatrix} \text{ e } U_2(t) = \begin{bmatrix} 0 & 0 \\ 0 & e^{tB_2} \end{bmatrix}.$$

Como conseqüência das definições de  $U_1(t)$  e  $U_2(t)$  tem-se

$$e^{tB} = U_1(t) + U_2(t)$$

e  $\dot{U}_1(t) = B \cdot U_1(t)$  assim como  $\dot{U}_2(t) = B \cdot U_2(t)$ . A solução do sistema  $\dot{y} = By$  que para  $t = 0$  passa pelo ponto  $y_0$  é dada por  $\varphi(t) = e^{tB} \cdot y_0$ . Mas  $\varphi(t) = e^{tB} \cdot y_0 = U_1(t)y_0 + U_2(t)y_0$ . É fácil constatar-se que as funções  $\varphi_i(t) = U_i(t) \cdot y_0$ ,  $i=1,2$ , são também soluções de  $\dot{y} = By$ ; de fato:  $\dot{\varphi}_i(t) = \dot{U}_i(t)y_0 = B \cdot U_i(t)y_0 = B \cdot \varphi_i(t)$ .

Consideremos os subespaços de  $R^n$  dados por

$$E^1 = \{U_1 \cdot x \mid x \in R^n\}$$

e

$$E^2 = \{U_2 \cdot x \mid x \in R^n\}$$

em que  $U_1 = U_1(1)$  e  $U_2 = U_2(1)$ . É imediato que  $E^1 + E^2 = R^n$  porque todo vetor  $z$  de  $R^n$  é da forma  $z = e^B \cdot y$  e portanto  $z = e^B \cdot y = U_1(1) \cdot y + U_2(1) \cdot y$ . Se no conjunto  $\sigma_1(A) = \sigma(B_1)$  existirem  $k$  raízes características (con-

tadas com suas multiplicidades) a dimensão de  $E^1$  será igual à  $k$ . De fato consideremos os  $k$  vetores de  $E^1$ :

$$f_1 = U_1 \cdot \begin{bmatrix} 1 \\ 0 \\ \vdots \\ 0 \end{bmatrix}, \quad f_2 = U_1 \cdot \begin{bmatrix} 0 \\ 1 \\ \vdots \\ 0 \end{bmatrix}, \quad \dots, \quad f_k = U_1 \cdot \begin{bmatrix} 0 \\ 0 \\ \vdots \\ 1 \\ \vdots \\ 0 \end{bmatrix} \quad (k \text{ linhas}),$$

que são linearmente independentes pois se

$$\lambda_1 U_1 \cdot \begin{bmatrix} 1 \\ 0 \\ \vdots \\ 0 \end{bmatrix} + \lambda_2 U_1 \cdot \begin{bmatrix} 0 \\ 1 \\ \vdots \\ 0 \end{bmatrix} + \dots + \lambda_k U_1 \cdot \begin{bmatrix} 0 \\ 0 \\ \vdots \\ 1 \\ \vdots \\ 0 \end{bmatrix} = \begin{bmatrix} 0 \\ 0 \\ \vdots \\ 0 \end{bmatrix} \quad \text{teremos}$$

$$U_1 \cdot \begin{bmatrix} \lambda_1 \\ \lambda_2 \\ \lambda_k \\ 0 \\ \vdots \\ 0 \end{bmatrix} = \begin{bmatrix} 0 \\ 0 \\ \vdots \\ 0 \\ \vdots \\ 0 \end{bmatrix}$$

que acarreta  $e^{B_1} \cdot \begin{bmatrix} \lambda_1 \\ \vdots \\ \lambda_k \end{bmatrix} = \begin{bmatrix} 0 \\ \vdots \\ 0 \end{bmatrix}$ , donde  $\lambda_1 = \dots = \lambda_k = 0$ .

A seqüência  $(f_1, \dots, f_k)$  é uma base de  $E^1$  pois se

$$\begin{bmatrix} a_1 \\ \vdots \\ a_n \end{bmatrix} \in E^1 \quad \text{tem-se} \quad \begin{bmatrix} a_1 \\ \vdots \\ a_n \end{bmatrix} = U_1 \begin{bmatrix} y_1 \\ \vdots \\ y_n \end{bmatrix} = U_1 \begin{bmatrix} y_1 \\ \vdots \\ y_k \\ 0 \\ \vdots \\ 0 \end{bmatrix} = y_1 f_1 + \dots + y_k f_k.$$

De forma análoga prova-se que a dimensão de  $E^2$  é  $(n-k)$ .

Finalmente se  $y_0 \in E^1$  a solução  $\varphi(t) = e^{tB} y_0$  permanece em  $E^1$  para todo  $t$  real já que

$$\begin{aligned}\varphi(t) &= e^{tB} y_0 = e^{tB} U_1 z_0 = [U_1(t) + U_2(t)] U_1 z_0 = U_1(t) U_1 z_0 = \\ &= U_1(t+1) z_0 = U_1(U_1(t) z_0) \in E^1.\end{aligned}$$

As últimas considerações são a prova do seguinte teorema:

TEOREMA 11 - A toda partição do espectro  $\sigma(A)$ , compatível com a conjugação, corresponde uma decomposição de  $R^n$  em soma direta  $E^1 \oplus E^2$ , a dimensão de  $E^i$  sendo o número de elementos de  $\sigma_i(A)$  (contados com sua multiplicidade)  $i=1,2$ . Além disso o fluxo  $\phi_t$  de  $\dot{x} = Ax$  deixa  $E^1$  e  $E^2$  invariantes e a restrição de  $\phi_{t=1}$  à  $E^i$  é um operador linear que tem como espectro as exponenciais dos elementos de  $\sigma_i(A)$ ,  $i=1,2$ .

#### EXERCÍCIOS

- 1) Provar que se as raízes características de  $A$  tem suas partes reais não nulas, o sistema  $\dot{x} = Ax$  não admite solução periódica.
- 2) Se a matriz real  $A$  tem uma raiz característica imaginária pura  $i\beta$  ( $\beta \neq 0$ ), existe um plano pela origem, invariante pelo fluxo, e todas as soluções por pontos desse plano são periódicas.

§8 - PONTOS CRÍTICOS HIPERBÓLICOS. ESTABILIDADE LOCAL DE  
SISTEMAS LINEARES HOMOGÊNEOS DE  
COEFICIENTES CONSTANTES

$$\text{Seja } \dot{x}^i = f^i(x^1, \dots, x^n), \quad i=1, 2, \dots, n \quad (42)$$

um sistema autônomo de equações diferenciais ordinárias em que as  $f^i$  e suas derivadas parciais  $\frac{\partial f^i}{\partial x^j}$  existem e são contínuas num aberto  $\Delta$  de  $\mathbb{R}^n$ .

Seja  $a \in \Delta$  um ponto crítico do sistema (42), isto é, um ponto que anula os segundos membros ou seja  $f^i(a) = 0$ ,  $i=1, 2, \dots, n$ . Matricialmente, podemos escrever  $\dot{x} = f(x)$  para representar o sistema (42) e aplicando a fórmula de Taylor para  $f(x)$  teremos:

$$f(x) = f(a) + A(x-a) + r(x)$$

em que  $f(a) = 0$ ,  $r(a) = 0$  e  $dr(a) = 0$ , donde

$$f(x) = A(x-a) + r(x)$$

para todo  $x$  numa vizinhança  $U$  de  $a \in \Delta$ . A matriz  $A$  é a matriz jacobiana  $\left(\frac{\partial f^i}{\partial x^j}\right)$  calculada para  $x = a$ . No que segue, nada perderemos, em generalidade, se supuzermos  $a = 0$ , o que pode ser obtido por uma translação de eixos. A expressão local de  $f(x)$  resultará então

$$f(x) = Ax + r(x), \quad r(0) = 0 \quad \text{e} \quad dr(0) = 0.$$

A origem  $a = 0$  diz-se um ponto crítico hiperbólico se tôdas as raízes características de  $A$  tiverem parte real não nula. Nos Exemplos 14, 15, 16 e 17 a origem é um ponto crítico hiperbólico o que não acontece no Exemplo 14. Um ponto crítico hiperbólico chama-se um poço se tôdas as raízes características têm parte real negativa; uma fonte se tôdas as raízes características têm parte real positiva e um ponto de sela nos demais casos. Segue do que foi dito que, se o ponto crítico é hiperbólico, a matriz  $A$  tem determinante não nulo, isto é,  $A$  é não singular. Se  $x^i = \varphi^i(y^1, \dots, y^n)$  é uma mudança de coordenadas de classe  $C^2$  válida nas vizinhanças da origem,  $\varphi^i(0, \dots, 0) = 0$ ,  $i = 1, 2, \dots, n$ , teremos  $\left(\frac{\partial \varphi^i}{\partial y^j}\right)$  não singular em todos os pontos onde vale a mudança de coordenadas. Nas novas coordenadas teremos

$$\dot{x}^i = \sum_{j=1}^n \frac{\partial \varphi^i}{\partial y^j} \dot{y}^j = f^i(\varphi^1(y^1, \dots, y^n), \dots, \varphi^n(y^1, \dots, y^n))$$

e matricialmente

$$\dot{y} = M^{-1}(y) \cdot f(\varphi(y)),$$

$M^{-1}(y)$  sendo a inversa da matriz  $M(y) = \left(\frac{\partial \varphi^i}{\partial y^j}\right)$ . Aplicando a fórmula de Taylor teremos localmente  $\dot{y} = By + \tilde{r}(y)$  em que  $B = M^{-1}(0)AM(0)$ , isto é, a matriz  $B$  é semelhante à  $A$  e conseqüentemente suas raízes características são

as mesmas da matriz  $A$ . Tal conclusão mostra que o conceito de ponto crítico hiperbólico é independente do sistema de coordenadas utilizado para sua definição. Olhando para o sistema (42) como um campo de vetores em  $\Delta$ , podemos concluir que o conceito de ponto crítico hiperbólico depende unicamente do campo pelo qual êle se representa num dado sistema de coordenadas.

Sejam  $F$  e  $G$  dois campos de vetores de classe  $C^k$ ,  $k \geq 1$ , definidos num mesmo aberto  $\Delta$  de  $R^n$ , isto é, os segundos membros das equações diferenciais que êles definem são de classe  $C^k$  em  $\Delta$ . Sejam  $a$  e  $b$  pontos críticos de  $F$  e  $G$  respectivamente, isto é,  $F(a) = G(b) = 0$ . Diz-se que o par  $(F,a)$  é localmente equivalente ao par  $(G,b)$  se existe um homeomorfismo

$$h: V \rightarrow W$$

de uma vizinhança aberta  $V$  de  $a$  sobre uma vizinhança  $W$  de  $b$  tal que  $h(a) = b$  e que transforma trajetórias de  $F$  em  $V$  sobre trajetórias de  $G$  em  $W$ . Note-se, por exemplo, que no caso dos Exemplos 13, 14, 15 e 16 não pode haver equivalência local entre o primeiro caso e qualquer um dos outros três pois no Exemplo 13 as órbitas são compactas nas vizinhanças de zero o que não acontece nos demais.

Suponhamos que os pontos críticos  $a$  e  $b$  de  $F$

e  $G$  sejam ambos fontes ou ambos poços. Vamos aqui repetir a prova da seguinte proposição ([3]):

PROPOSIÇÃO 9 - Se  $a$  e  $b$  são fontes (poços) então  $(F,a)$  e  $(G,b)$  são localmente equivalentes.

Prova: Mostremos inicialmente que existe uma esfera  $S^{n-1}$ , de raio suficientemente pequeno, centrada em  $a$  e as trajetórias de  $F$  são transversais à  $S^{n-1}$ . Vamos estudar o caso em que  $a$  é uma fonte, isto é, por uma translação conveniente tem-se para  $F$  nas vizinhanças de  $a$

$$\dot{x} = Ax + f(x)$$

$f(0) = 0$ ,  $df_0 = 0$  e tôdas as raízes características de

$A$  têm parte real positiva. Consideremos a distância  $\rho$  de um ponto  $x = (x^1, \dots, x^n)$  à origem:  $\rho^2 = (x^1)^2 + \dots + (x^n)^2$ . Para  $\rho$  suficientemente pequeno iremos ter

$\frac{d\rho}{dt} > 0$  ao longo das trajetórias. O Teorema 10 que dá a forma canônica de Jordan é suposto já utilizado, isto é,

$A$  já está na forma canônica; segundo as notações desse teorema temos todos os  $\alpha_j$  e ou  $\lambda_j$  positivos e seja

$\mu = \text{mínimo} \{ \alpha_j, \lambda_j \}$ . Se  $x = x(t)$  é uma trajetória qualquer teremos  $\rho(x(t)) \frac{d\rho(x(t))}{dt} = x^1 \dot{x}^1 + \dots + x^n \dot{x}^n$  e portan

to

$$\rho(x(t)) \frac{d\rho(x(t))}{dt} = \sum_{j=1}^n \xi_j (x^j)^2 + Q(x^1, \dots, x^n) + o(\rho)$$

$\nearrow ? H(0) \cdot X$

onde  $\xi_j$  ou é  $\lambda_j$  ou é  $\alpha_j$  e  $Q$  é uma forma quadrática

(n)

ca com coeficientes e;  $O(\rho)$  é uma expressão tal que  $\frac{O(\rho)}{\rho^2}$  vai a zero quando  $\rho$  tende a zero. Conseqüentemente

$$\rho(x(t)) \frac{d\rho(x(t))}{dt} \geq \mu[\rho(x(t))]^2 + Q(x^1, \dots, x^n) + O(\rho).$$

Como todos os coeficientes de  $Q$  são iguais à  $e$  e temos que  $Q = e\bar{Q}$  onde  $\bar{Q}$  é também forma quadrática. Como  $\frac{\bar{Q}(x)}{\rho^2} = \bar{Q}(\frac{x}{\rho})$  conclue-se que  $\frac{\bar{Q}(x)}{\rho^2}$  assume um máximo e um mínimo, logo  $|\frac{\bar{Q}(x)}{\rho^2}| < k, k > 0$ . Segue então que

$$\frac{1}{\rho(x(t))} \cdot \frac{d\rho(x(t))}{dt} \geq \mu + e \frac{\bar{Q}}{\rho^2} + \frac{O(\rho)}{\rho^2}$$

e para  $e$  suficientemente pequeno  $|e \frac{\bar{Q}}{\rho^2}| < (\frac{\mu}{2})$  donde

$$\frac{\mu}{2} < \mu + \frac{e\bar{Q}}{\rho^2} < \frac{3\mu}{2},$$

isto é,

$$\frac{1}{\rho(x(t))} \frac{d\rho(x(t))}{dt} > \frac{\mu}{2} + \frac{O(\rho)}{\rho^2}$$

e como para  $\rho$  suficientemente pequeno o segundo membro é positivo tem-se que para  $\rho \leq \rho_0, \frac{d\rho(x(t))}{dt} > 0$ , isto é,  $\rho(x(t))$  é estritamente crescente,  $\rho \leq \rho_0$ . As trajetórias são transversais às esferas de raio  $\leq \rho_0$  pois

$$\begin{aligned} \langle x(t), \dot{x}(t) \rangle &= \frac{1}{2} \frac{d}{dt} \langle x(t), x(t) \rangle = \frac{1}{2} \frac{d}{dt} [\rho(x(t))]^2 = \\ &= \rho(x(t)) \cdot \frac{d\rho(x(t))}{dt} > 0. \end{aligned}$$

Passando agora à prova pròpriamente dita da Proposição 9

consideraremos  $S_1$  e  $S_2$ , duas esferas de raios  $\rho_1$  e  $\rho_2$  transversais às trajetórias de  $F$  e  $G$  e sejam  $B_1$  e  $B_2$  as bolas respectivas. Se  $f: S_1 \rightarrow S_2$  fôr um homeomorfismo arbitrário, poderemos a partir dêle definir um homeomorfismo

$$h: B_1 \rightarrow B_2$$

do seguinte modo: dado  $x_1 \in B_1$  êle determina o ponto  $\bar{x}_1$  onde a trajetória de  $F$  por  $x_1$  atinge  $S_1$ ; define-se o par  $(f(\bar{x}_1), t_1)$  em que  $t_1$  é o tempo gasto pela trajetória entre  $x_1$  e  $\bar{x}_1$ . A partir dêsse par determina-se um único ponto  $h(x_1)$  em  $B_2$  de modo que a trajetória de  $G$  por  $f(x_1)$  leve o tempo  $(-t_1)$  para atingir  $h(x_1)$ . A prova está completa porque  $h$  transforma trajetórias de  $F$  nas vizinhanças de  $a$  em trajetórias de  $G$  nas vizinhanças de  $b$ , e além disso preserva os tempos. A prova para "poços" faz-se de modo análogo.

Indiquemos agora por  $\mathfrak{X}(L)$  o conjunto de tôdas as matrizes quadradas reais de ordem  $n$ . Se  $A$  e  $B$  pertencem à  $\mathfrak{X}(L)$  chama-se distância entre  $A$  e  $B$  o número  $d(A, B) = \|A - B\|$ , norma de  $(A - B)$ . Trata-se de uma distância que define em  $\mathfrak{X}(L)$  uma estrutura de espaço métrico completo. A cada matriz  $A$  corresponde um sistema linear autônomo de expressão matricial  $\dot{x} = Ax$ , e reciprocamente.

O campo de vetores determinado por  $\dot{x} = Ax$  será denotado por  $\tilde{A}$ .

Seja  $G_0$  o subconjunto de  $\mathbb{X}(L)$  constituído das matrizes não singulares;  $G_0$  é um aberto de  $\mathbb{X}(L)$ . Por  $G_1$  indicaremos a totalidade das matrizes de  $G_0$  que têm as raízes características com parte real não nula. Tem-se obviamente  $G_1 \subset G_0 \subset \mathbb{X}(L)$ .

PROPOSIÇÃO 10 -  $G_1$  é aberto e denso em  $\mathbb{X}(L)$ ; em particular  $G_0$  é aberto e denso em  $\mathbb{X}(L)$ .

Prova: Consideremos a aplicação  $\psi_2: (G_0 \times \mathbb{C}) \rightarrow \mathbb{C}$  definida por  $\psi_2(X, \alpha) = \det(X - \alpha I)$ ,  $\mathbb{C}$  indicando o conjunto dos números complexos; se  $X \in G_0$  é da forma  $e^A$  com  $A \in G_1$  e se  $\mu \in S^1$  (círculo unitário de  $\mathbb{C}$ ) tem-se  $\psi_2(e^A, \mu) \neq 0$  logo como  $\psi_2$  é contínua existem uma vizinhança  $U$  de  $e^A$  e uma vizinhança  $V$  de  $\mu$  tais que  $(Y, \sigma) \in U \times V$  acarreta  $\psi_2(Y, \sigma) = \det(Y - \sigma I) \neq 0$ . Como  $S^1$  é compacto existem uma vizinhança  $\mathcal{D}$  de  $e^A$  e uma vizinhança  $V$  de  $S^1$  de modo que  $(Y, \sigma) \in \mathcal{D} \times V$  acarreta  $\det(Y - \sigma I) \neq 0$ . Consideremos agora a função

$$\psi_1: \mathbb{X}(L) \times \mathbb{C} \rightarrow (G_0 \times \mathbb{C})$$

definida por  $\psi_1(Z, \lambda) = (e^Z, e^\lambda)$ . Da continuidade de  $\psi_1$ , dada a vizinhança  $\mathcal{D} \times V$  de  $\{e^A\} \times S^1$ , existe uma vizinhança de  $A$  tal que todo  $B$  nessa vizinhança está em  $G^1$ .

Então  $G_1$  é aberto em  $\mathfrak{X}(L)$ .

Se  $M \in \mathfrak{X}(L)$  e  $\lambda$  é raiz característica de  $M$  segue imediatamente que  $(\lambda + \epsilon)$  é raiz característica de  $(M + \epsilon I)$ . Conseqüentemente, escolhendo-se  $\epsilon > 0$  suficientemente pequeno, tôdas as matrizes  $(M + \epsilon I)$  estarão em  $G_1$  o que prova que  $G_1$  é denso em  $\mathfrak{X}(L)$ . Diremos que  $A \in \mathfrak{X}(L)$  é localmente estruturalmente estável se existe uma vizinhança  $U$  de  $A$  em  $\mathfrak{X}(L)$  tal que  $(\tilde{B}, 0)$  é localmente equivalente à  $(\tilde{A}, 0)$  para todo  $B \in U$ .

TEOREMA 12 - A matriz  $A$  de  $\mathfrak{X}(L)$  é localmente estruturalmente estável se, e sômente se,  $A$  pertence à  $G_1$ .

Prova: Suponhamos inicialmente que  $A$  seja localmente estruturalmente estável; então existe uma vizinhança  $U$  de  $A$  e  $B \in G_1$  nessa vizinhança ( $G_1$  é denso em  $\mathfrak{X}(L)$ ) tal que  $(\tilde{B}, 0)$  é localmente equivalente à  $(\tilde{A}, 0)$ . Então existe um homeomorfismo  $h: V \rightarrow W$  de uma vizinhança aberta  $V$  de  $0$  sôbre uma vizinhança  $W$  de  $0$ ,  $h(0) = 0$ , e que transforma trajetórias de  $\tilde{A}$  em  $V$  sôbre trajetórias de  $\tilde{B}$  em  $W$ . Se  $A$  não pertence à  $G_1$  existe uma raiz característica de  $A$  no eixo imaginário; seja  $i\beta$  essa raiz. Se  $\beta = 0$  existe uma reta pela origem tôda formada de pontos críticos de  $A$ ; como  $h$  transforma tra

jetórias em trajetórias, todos os pontos de  $V$  sobre essa reta serão transformados em  $O$  o que mostraria ser  $h$  não injetora o que seria absurdo. Se  $\beta \neq 0$  então de acordo com o Exercício 2 do §7, existe um plano pela origem e tôdas as soluções de  $\tilde{A}$  nesse plano são periódicas; por outro lado pelo Exercício 1 do §7, o campo  $\tilde{B}$  não admite solução periódica. Como  $h$  transforma trajetórias em trajetórias isto levar-nos-ia a um absurdo. Então  
 $A \in G_1$ .

Reciprocamente, seja  $A$  um elemento de  $G_1$  e  $U$  uma vizinhança de  $A$  em  $G_1$  de modo que se  $A$  tem  $k$  raízes com parte real negativa (contadas com sua multiplicidade), todo  $B \in U$  terá também o mesmo número  $k$  de raízes com parte real negativa. Pelo Teorema 11, cada  $B \in U$  determina uma decomposição de  $R^n$  em soma direta  $E^1(B) \oplus E^2(B)$ , a dimensão de  $E^1(B)$  sendo  $k$ , de modo que o fluxo deixa  $E^1(B)$  e  $E^2(B)$  invariantes e como consequência a origem em  $E^1(B)$  é um "poço" para a restrição do campo de vetores  $\tilde{B}$  à  $E^1(B)$  enquanto que é uma "fonte" para a restrição do campo  $\tilde{B}$  à  $E^2(B)$ . Em particular, como  $A \in U$  temos também a decomposição  $E^1(A) \oplus E^2(A)$  com as propriedades descritas. Seja  $h_1$  um homeomorfismo local relativo ao par de fontes de  $E^1(A)$  e  $E^1(B)$  e  $h_2$  um homeomorfismo local relativo ao par de

poços de  $E^2(A)$  e  $E^2(B)$ ;  $h_1$  e  $h_2$  têm sua existência garantida pela Proposição 9:

$$h_1: V_1 \rightarrow W_1$$

$$h_2: V_2 \rightarrow W_2$$

Seja  $h: V_1 \times V_2 \rightarrow W_1 \times W_2$  a aplicação definida do seguinte modo: para cada  $x = (x_1, x_2) \in V_1 \times V_2$  define-se  $h(x) = (h_1(x_1), h_2(x_2))$ .  $h$  é um homeomorfismo local e transforma trajetórias de  $\tilde{A}$  em trajetórias de  $\tilde{B}$  o que completa a prova do teorema.

§9 - VARIEDADES ESTÁVEIS E INSTÁVEIS DE UM PONTO CRÍTICO  
HIPERBÓLICO. TEOREMA DA EQUIVALÊNCIA LOCAL  
ENTRE PONTOS CRÍTICOS HIPERBÓLICOS

A finalidade dêste parágrafo é mostrar aos estudantes que quizerem prosseguir seus estudos em assuntos ligados à teoria qualitativa das equações diferenciais ordinárias, que os resultados principais obtidos no parágrafo anterior generalizam-se para sistemas autônomos não lineares. Não daremos nenhuma prova do que se disser neste parágrafo. Maiores detalhes podem ser encontrados em [3].

Seja  $a$  um ponto crítico hiperbólico de um campo de vetores  $F$  (ver §8). Suponhamos que a matriz jacobiana de  $F$  em  $a$  possua  $s$  valores característicos com parte real negativa e  $u$  valores característicos com parte real positiva, contados com sua multiplicidade; então  $s+u = n$  e diremos que  $a$  é do tipo  $(s,u)$ .

Demonstra-se (ver [4]) que existe uma vizinhança  $V$  de  $a$  tal que o conjunto  $W^s(V)$ , constituído dos pontos  $q \in V$  tais que a trajetória de  $F$  por  $q$  para  $t = 0$  permanece em  $V$  para todo  $t \geq 0$  e tende à  $a$  quando  $t$  tende a  $+\infty$ , é uma subvariedade regularmente imersa em  $V$ ,

de dimensão  $s$ . Mudando  $t$  por  $-t$  obteremos uma subvariedade  $W^u(V)$  de  $V$  de dimensão  $u$ . A matriz jacobiana em  $a$  determina uma soma direta  $R = E^u \oplus E^s$  como foi visto no parágrafo anterior. O espaço tangente à  $W^u(V)$  no ponto  $a$  é  $E^u$  enquanto que o de  $W^s(V)$  no ponto  $a$  é  $E^s$ . As duas variedades  $W^u(V)$  e  $W^s(V)$  cortam-se, portanto, transversalmente em  $a$ , que é o único ponto comum à ambas. O teorema que enunciaremos agora é devido originalmente à Hartman e Grobman que deram provas analíticas. Para uma prova geométrica devida à Palis ver [3].

TEOREMA 13 - Sejam  $(F, a)$  e  $(G, b)$  dois pares tais que  $a$  é ponto crítico hiperbólico do campo de vetores  $F$  e  $b$  é ponto crítico hiperbólico do campo de vetores  $G$ , ambos do tipo  $(s, u)$ . Então  $(F, a)$  e  $(G, b)$  são localmente equivalentes. Em particular  $(F, a)$  é localmente equivalente à  $(\tilde{A}, a)$ ,  $\tilde{A}$  sendo o campo de vetores correspondente à matriz jacobiana  $A$  de  $F$  no ponto crítico  $a$ .

A idéia da prova está em desfrutar do fato que o fluxo de  $F$  restrito à  $W^u(V)$  é tal que  $a$  é uma fonte enquanto que  $a$  é um poço para o fluxo de  $F$  restrito à  $W^s(V)$ . Procedendo-se de modo semelhante nas vizinhanças

de  $b$  poderemos aplicar a Proposição 9 como foi feito no Teorema 12. A partir dos homeomorfismos locais entre as fontes  $a$  e  $b$  e entre os poços  $a$  e  $b$  constroe-se um homeomorfismo local que fóra das variedades estáveis e instáveis, também transformará trajetórias em trajetórias.



§10 - TEOREMAS DE POINCARÉ-BENDIXON NA ESFERA

Seja  $S^2$  a esfera de raio 1 de  $R^3$ , isto é, o conjunto dos pontos  $(x,y,z) \in R^3$  tais que  $x^2+y^2+z^2 = 1$ . Poderemos supor, sem perda de generalidade, que todo campo de vetores  $X$  em  $S^2$  provem de um campo de vetores  $\vec{v}$  definido num aberto  $\Delta$  de  $R^3$  que contenha  $S^2$ . O campo  $\vec{v}$  será pois da forma

$$\vec{v} = f_1(x,y,z)\vec{i} + f_2(x,y,z)\vec{j} + f_3(x,y,z)\vec{k}$$

em que as funções  $f_1, f_2$  e  $f_3$  são de classe  $C^k$  em  $\Delta$ ,  $k \geq 1$ . Diremos então que tal campo  $X$  em  $S^2$  é de classe  $C^k$ . Todas as trajetórias de  $X$  são, já que  $S^2$  é compacta, definidas para todo  $t$ ,  $-\infty < t < +\infty$ . Seja  $\gamma = \gamma(t)$  uma trajetória de  $X$  em  $S^2$ ; o conjunto  $\omega$ -limite de  $\gamma$ ,  $\omega(\gamma)$ , é definido como o conjunto de todos os pontos  $p \in S^2$  tais que existe uma seqüência  $\{t_i\}$ ,  $i=1,2,\dots$ , com  $t_i \rightarrow \infty$  e  $\gamma(t_i) \rightarrow p$  quando  $i \rightarrow \infty$ . Análogamente define-se o conjunto  $\alpha$ -limite de  $\gamma$ ,  $\alpha(\gamma)$ , como o conjunto dos pontos  $p \in S^2$  tais que existe uma seqüência  $\{t_i\}$ ,  $i=1,2,\dots$ , com  $t_i \rightarrow -\infty$  e  $\gamma(t_i) \rightarrow p$  quando  $i \rightarrow \infty$ .

TEOREMA 14 - Seja  $\gamma = \gamma(t)$  uma trajetória de um campo de vetores  $X$  de classe  $C^1$ , definido em  $S^2$ . Então  $w(\gamma)$  e  $\alpha(\gamma)$  são não vazios, compactos, conexos e invariantes (reuniões de trajetórias).

Prova: Tomada arbitrariamente uma seqüência  $\{t_i\}$  com

$t_i \rightarrow +\infty$  quando  $i \rightarrow \infty$ , a seqüência correspondente  $\{\gamma(t_i)\}$  está num compacto ( $S^2$ ), logo admite uma subseqüência convergente e daí conclue-se que  $w(\gamma) \neq \emptyset$ ; de modo análogo prova-se que  $\alpha(\gamma) \neq \emptyset$ . Para provar que  $w(\gamma)$  é compacto é suficiente provar que é fechado; seja então

$q_n$  uma seqüência de pontos de  $w(\gamma)$  que converge para um ponto  $q$ ; dado  $\epsilon > 0$  existe  $n_0(\epsilon)$  tal que para  $n \geq n_0(\epsilon)$  tem-se  $d(q_n, q) < \frac{\epsilon}{2}$ ,  $d(x, y)$  indicando a distância euclideana de  $R^3$  aplicada a pontos  $x, y$  de  $S^2$ .

Como  $q_n \in w(\gamma)$ , existe  $t_n > n$  tal que  $d(\gamma(t_n), q_n) < \frac{1}{n}$  e portanto à  $\epsilon > 0$  corresponde  $N_\epsilon$  tal que  $n > N_\epsilon$  acarreta  $d(\gamma(t_n), q) \leq d(\gamma(t_n), q_n) + d(q_n, q) < \epsilon$ ; isto prova que  $q \in w(\gamma)$  donde  $w(\gamma)$  é fechado. Raciocínio análogo prova que  $\alpha(\gamma)$  é compacto. Suponhamos que  $w(\gamma)$

não seja conexo, isto é,  $w(\gamma) = M \cup N$  em que  $M$  e  $N$  são dois fechados (logo compactos) não vazios e disjuntos.

Seja  $\delta > 0$  a distância entre  $M$  e  $N$ . A curva  $\gamma(t)$  para um  $t$  suficientemente grande é tal que  $d(\gamma(t), M) < \frac{\delta}{2}$  e também para um  $\tilde{t}$  suficientemente grande  $d(\gamma(\tilde{t}), N) < \frac{\delta}{2}$ ,

isto é,  $d(\gamma(\tilde{t}), M) > \frac{\delta}{2}$ ; como  $d(\gamma(t), M)$  é função contínua de  $t$  existirá uma seqüência  $t_n$  tal que  $d(\gamma(t_n), M) = \frac{\delta}{2}$  e portanto para uma subseqüência convergente,  $\gamma(t_n) \rightarrow q$ , teremos  $d(q, M) = \frac{\delta}{2}$ ; o ponto  $q \in \omega(\gamma)$  não estaria nem em  $M$  nem em  $N$  donde o absurdo.  $\omega(\gamma)$  e  $\alpha(\gamma)$  são portanto conexos. Finalmente, seja  $q \in \omega(\gamma)$  e  $\varphi(t, q)$  a trajetória que passa pelo ponto  $q$  para  $t = 0$ ; como  $q = \lim_{n \rightarrow \infty} \varphi(\zeta_n, p)$  temos para  $t$  fixo que  $\varphi(t, q) \in \omega(\gamma)$  pois  $\varphi(t, q) = \varphi(t, \lim_{n \rightarrow \infty} \varphi(\zeta_n, p)) = \lim_{n \rightarrow \infty} \varphi(t, \varphi(\zeta_n, p)) = \lim_{n \rightarrow \infty} \varphi(t + \zeta_n, p) = \lim_{n \rightarrow \infty} \varphi(\zeta_n, p) = q \in \omega(\gamma)$

Indicaremos por  $X_p$  o vetor do campo  $X$  que é tangente à esfera  $S^2$  no ponto  $p$ . Se  $X_p \neq 0$ , isto é, se  $p$  não é crítico, diremos que  $p$  é regular.

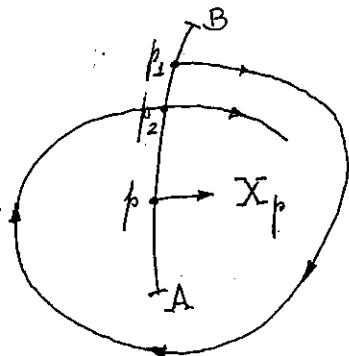
Uma curva diferenciável contida em  $S^2$  é uma transversal ao campo  $X$  se, para todo ponto  $p$  da curva, o vetor  $X_p$  e o vetor tangente à curva em  $p$  são linearmente independentes e se as trajetórias (em  $S^2$ ) cortam a curva sempre no "mesmo sentido". O significado de cortar no "mesmo sentido" corresponde a constatar se isso acontece com as projeções em um dos planos coordenados ( $xy$ ), ( $xz$ ) ou ( $yz$ ). Assim, se  $p \in S^2$  é um ponto regular ( $X_p \neq 0$ ), é fácil provar que pelo ponto  $p$  passa uma transversal ao campo  $X$  que admite  $p$  como ponto interno.

TEOREMA 15 (Poincaré-Bendixon) - Seja  $\gamma(t)$  uma trajetória de um campo  $X$  de classe  $C^1$  em  $S^2$ . Se  $\gamma(t)$  é periódica então  $\omega(\gamma) = \gamma$ . Se  $\omega(\gamma)$  só possui pontos regulares então  $\omega(\gamma)$  é uma trajetória periódica.

Prova: Se  $\gamma = \gamma(t)$  é periódica, é claro que  $\gamma \subset \omega(\gamma)$ .

Por outro lado, dado  $p \in \omega(\gamma)$ ,  $p = \lim_{i \rightarrow \infty} \gamma(t_i)$ ,  $t_i \rightarrow \infty$ , e como  $\gamma$  é fechada,  $p \in \gamma$ .

Suponhamos agora que  $\gamma(t)$  não seja periódica e que  $\omega(\gamma)$  só contém pontos regulares. É claro que, neste caso,  $\gamma(t)$  não é um ponto crítico, pois tal ponto teria que pertencerá  $\omega(\gamma)$ . Seja  $p \in \omega(\gamma)$  que não é crítico e  $AB$  uma transversal contendo  $p$  em seu interior. É fácil provar que existe uma seqüência de pontos



$p_1 = \gamma(t_1), p_2 = \gamma(t_2), \dots, p_n = \gamma(t_n), \dots, t_n \rightarrow \infty$ , todos sôbre a transversal  $AB$  e tendendo para o ponto  $p$ .

Claro está que  $p_1$  e  $p_2$  estão de um mesmo lado de  $AB$

relativamente à  $p$ , por exemplo, entre  $p$  e  $B$ , porque se estivessem em lados opostos, a trajetória  $\gamma(t)$  cortaria  $AB$  em  $p_3$  no sentido contrário (e  $AB$  não seria transversal) ou  $p$  deixará de pertencer a  $w(\gamma)$ . Também fica claro que  $p_3$  não pode estar entre  $p_1$  e  $p_2$  e estará certamente entre  $p_2$  e  $p$ . Resulta que a seqüência  $(p_n)$  converge para  $p$  "monotonicamente". Seja agora  $\delta$  a trajetória do campo  $X$  que começa em  $p$  para  $t = 0$ . Como  $w(\gamma)$  é invariante teremos certamente  $\delta \subset w(\gamma)$ . A trajetória  $\delta$  não é um ponto crítico pois  $X_p \neq 0$ ; por outro lado  $\delta$  intercepta  $AB$  apenas em  $p$  porquanto se cortasse  $AB$  entre  $p$  e  $p_2$ , o ponto  $p$  não estaria em  $w(\gamma)$  e se  $\delta$  cortasse  $AB$  entre  $A$  e  $p$  ou  $\gamma = \delta$  (e teríamos  $p \notin w(\gamma)$ ) ou  $\gamma \neq \delta$  e  $\delta$  admitiria entre  $A$  e  $p$  um ponto  $\bar{p} \in w(\delta)$  que deveria pertencer necessariamente à  $w(\gamma)$  o que seria também obviamente impossível. A trajetória  $\delta$  é portanto periódica. Provemos agora que  $\delta = w(\gamma)$ . Seja então  $q \in w(\gamma)$ ; o ponto  $q$  não poderá ser interior à região determinada por  $\delta$  à qual pertence  $A$  pois  $\gamma = \gamma(t)$  teria que interceptar  $\delta$  e seria portanto periódica. O ponto  $q$  está na região determinada por  $\delta$  à qual pertence o ponto  $B$ . Como por hipótese  $X_q \neq 0$ , constroeu-se, como na situação acima, uma transversal  $CD$  ao campo  $X$ , pelo ponto  $q$ . Sendo  $p'_n$  o

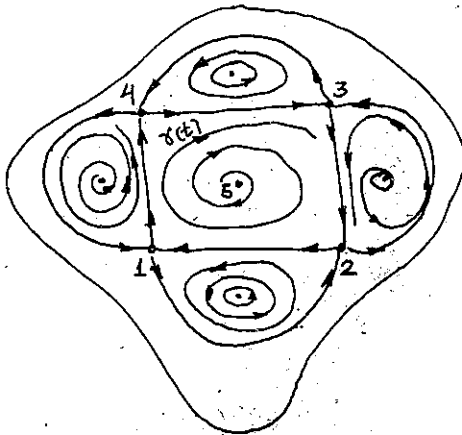
primeiro ponto após  $p_n = \gamma(t_n)$  em que  $\gamma(t)$  corta CD teremos a seqüência  $(p_n^i)$  convergindo para o ponto  $q$ , "monotônicamente". A trajetória  $\tilde{\delta}$  pelo ponto  $q$  é também periódica e passará necessariamente pelo ponto  $p$  já que, do contrário, ela impediria que  $p$  fôsse limite da seqüência  $(p_n)$ . Então  $\tilde{\delta} = \delta$ , isto é,  $q \in \delta$  o que completa a prova do Teorema 15.

TEOREMA 16 (Poincaré-Bendixon) - Seja  $X$  um campo de vetores de classe  $C^1$  em  $S^2$  com um número finito de pontos críticos. Se  $\gamma = \gamma(t)$  é uma trajetória de  $X$  tal que  $\omega(\gamma)$  contém pontos críticos de  $X$  então ou  $\omega(\gamma)$  é um ponto crítico ou consiste de um número finito de pontos críticos de  $X$  e de um conjunto de órbitas cada uma delas tendendo para um desses pontos críticos quando  $t \rightarrow \pm\infty$ .

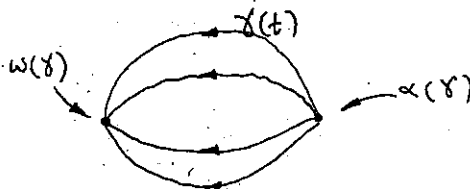
Prova: Se  $\omega(\gamma)$  não contém pontos regulares então  $\omega(\gamma)$  é um único ponto pois tem que ser conexo. Se, ao contrário,  $\omega(\gamma)$  contém pontos críticos e pontos regulares,  $\omega(\gamma)$  consistirá de um número finito de pontos críticos de  $X$  e de órbitas limites pois  $\omega(\gamma)$  é invariante. Seja  $C_0$  uma dessas órbitas limites que passa por um ponto regular de  $\omega(\gamma)$ . O conjunto  $\omega(C_0)$  não pode conter ponto regular porque tal ponto regular pertenceria à

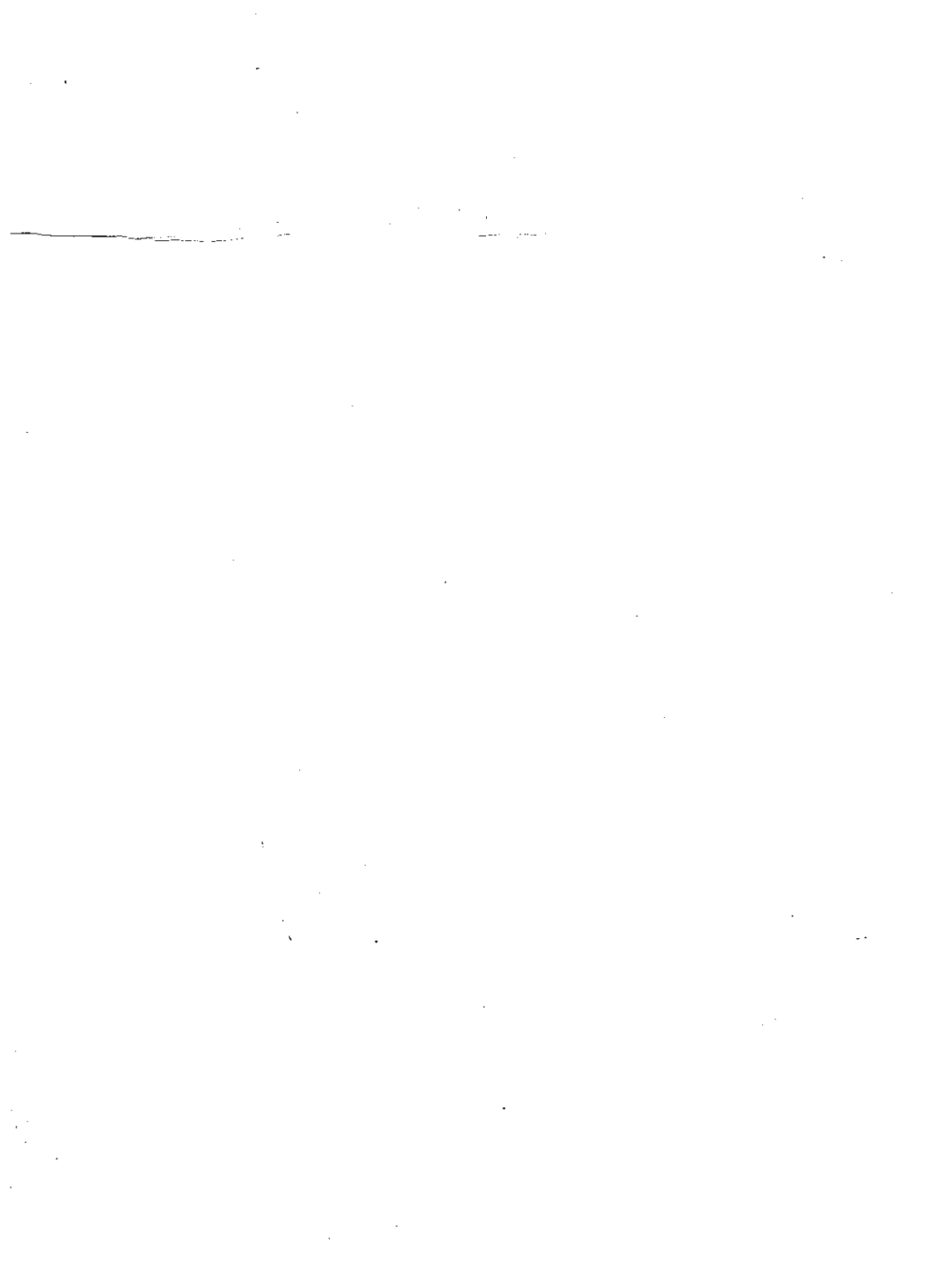
$w(\gamma)$  e por um argumento análogo ao usado no Teorema 15 mostraríamos que  $C_0$  seria periódica; isto ocorrendo obtém-se  $w(\gamma) = C_0$ , ([4] pg. 394) o que é absurdo pois  $w(\gamma)$  não teria pontos críticos. Já que  $w(C_0)$  não contém pontos regulares, como êle é conexo será um único ponto. De modo análogo  $\alpha(C_0)$  será também um único ponto. O teorema está completamente provado.

As figuras abaixo traduzem alguns tipos de situação possível para o caso do Teorema 16:



$$\begin{cases} w(\gamma) = \{1, 2, 3, 4; \widehat{12}, \widehat{23}, \widehat{34}, \\ \widehat{41}\} \\ \alpha(\gamma) = \{5\} \end{cases}$$





BIBLIOGRAFIA

- [1] - L. PONTRIAGUINE - Équations Différentielles  
Ordinaires, Éditions Mir. Moscou,  
1969.
- [2] - J. W. MILNOR - Topology from the Differentiable  
View point. Un.Press of Virginia,  
1965.
- [3] - M. M. PEIXOTO - Teoria Geométrica das Equações Di-  
ferenciais, IMPA, julho de 1969.
- [4] - E. A. CODDINGTON  
N. LEVINSON - Theory of Ordinary Differential  
Equations, Mc Graw-Hill, 1955.

